UNIVERSIDADE ESTADUAL DE CAMPINAS

INSTITUTO DE QUÍMICA

DEPARTAMENTO DE QUÍMICA ORGÂNICA



DISSERTAÇÃO DE MESTRADO

FOTODIMERIZAÇÃO NO ESTADO SÓLIDO: OBTENÇÃO E CARACTERIZAÇÃO DE SUBSTÂNCIAS CICLOBUTÂNICAS

Aluno: Alex Linardi Gomes Orientador: Prof. Dr. Sebastião Ferreira Fonseca

Campinas, agosto de 2008

FICHA CATALOGRÁFICA ELABORADA PELA BIBLIOTECA DO INSTITUTO DE QUÍMICA DA UNICAMP

Gomes, Alex Linardi.

G585f

Fotodimerização no estado sólido: obtenção e caracterização de substâncias ciclobutânicas / Alex Linardi Gomes. -- Campinas, SP: [s.n], 2008.

Orientador: Sebastião Ferreira Fonseca.

Dissertação - Universidade Estadual de Campinas, Instituto de Química.

 Ciclobutano. 2. Fotodimerização. 3. Reações em estado sólido. 4. Sínteses. I. Fonseca, Sebastião Ferreira. II. Universidade Estadual de Campinas. Instituto de Química. III. Título.

Título em inglês: Photodimerization on solid state solid: obtaining and characterization of substances cyclobutanics

Palavras-chaves em inglês: Cyclobutane, Photodimerization, Reaction on solid state, Synthesis

Área de concentração: Química Orgânica

Titulação: Mestre em Química na área de Química Orgânica

Banca examinadora: Prof. Dr. Fonseca, Sebastião Ferreira (orientador), Prof. Dr. André Luiz Meleiro Porto (IQ-USP-São Carlos), Prof. Dr. Cláudio Francisco

Tormena (IQ-UNICAMP)

Data de defesa: 01/08/2008

Dedicatória

Aos meus pais José Geraldo Camargo Gomes e Sandra Linardi Gomes pelo incentivo aos estudos.

Sintonia

Seja o realizador da Vontade de Deus

Quando lançamos uma semente ao solo, a planta germina, cresce, floresce e dá frutos. Esse trabalho, mecanismo e processo, delicados e misteriosos, não podem ser realizados por nenhum computador. O computador, que é obra máxima da inteligência humana, está longe de se igualar a uma pequenina semente. O homem precisa se tornar mais humilde, curvar-se diante de sabedoria da Natureza e receber orientação de Deus

Masaharu Taniguchi

Agradecimentos

Gostaria de agradecer a muitas pessoas que contribuíram e me incetivaram na conclusão deste trabalho:

Ao Instituto de química de Araraquara (UNESP) onde adquiri os primeiros conhecimentos e admiração pela química orgânica e ao professor Wagner Vilegas com tive oportunidade de trabalhar com produtos naturais.

Aos professores Roberto Rittner Neto, Paulo Mitsuo Imamura, Raquel Marques Braga, Anita Jocelyne Marsaioli, Lauro Euclides Soares Barata, Eva Gonçalves Magalhães e Aderbal Farias Magalhães pela minha formação neste período de Mestrado.

À minha esposa Helena Priscila dos Santos Gomes pela paciência e ajuda na conclusão desta etapa e ao meu enteado Gabriel Carraro Franco pelas alegrias do dia a dia.

Aos colegas de pós-graduação Adriano, Regina, Marinaldo, Carlos, Charles, Karina e Luís Fernando, do Instituto de Química, pelo companheirismo e ajuda no término deste trabalho.

Às técnicas Rute e Maria pelo auxílio nas atividades de laboratório.

Ao professor Dr. Sebastião Ferreira Fonseca pela paciência e tranquilidade na orientação.

Ao Instituto de Química da UNICAMP pela oportunidade e realização deste projeto de pesquisa.

Curriculum Vitae

1. Dados Pessoais

Nome: Alex Linardi Gomes
Data de Nascimento: 30/09/1976

Nacionalidade: Brasileira

Filiação: José Geraldo Camargo Gomes e Sandra Linardi Gomes

Estado civil: Casado

Endereço: Rua Rosália Marenghe Soranz, nº 327

Parque da Colina II Itatiba-SP E-mail pessoal: alf41doum@hotmail.com

2. Formação Acadêmica

2.1. Mestrado em Química (2008)

Instituição: Universidade Estadual de Campinas (UNICAMP)

Instituto de Ouímica

Área de concentração: Química Orgânica

Título da Dissertação: Fotodimerização no estado sólido: obtenção e

caracterização de substâncias ciclobutânicas. Orientador: Prof. Dr. Sebastião Ferreira Fonseca

2.2. Cursos de Extensão (2000)

Instituição: Universidade Estadual de Campinas (UNICAMP)

Faculdade de Engenharia Química

2.2.1 Simulação de Processos Químicos

2.2.2 Administração Ambiental

2.3. Graduação Bacharel em Química com Atribuições Tecnológicas (1999)

Instituição: Universidade Estadual Paulista (UNESP)

Instituto de Química-Araraquara

2.4. Técnico em Petroquímica (1994)

Escola Técnico Estadual "Conselheiro Antônio Prado" (ETECAP)

Campinas-SP

3. Atividades extracurriculares e profissionais

3.1. Iniciação científica (1998-1999)

Projeto: Estudo fitoquímico de plantas da família Eriocaulaceae "SempreVivas". Bolsista de Iniciação a Pesquisa Científica CNPQ. Orientador: Prof. Dr. Wagner Vilegas. Departamento de Química Orgânica, Instituto de Química de Araraquara-UNESP.

3.2. Estágio (1999)

Centro de pesquisas e Desenvolvimento CPqD

Campinas-SP

Estágio supervisionado de nível superior

De 01/08/1999 a 01/11/1999

Área de atuação: Tecnologia e Desenvolvimento

Atividades: Implantação e desenvolvimento de análises de metais em aparelho de Espectrofotometria por Fluorescência de Raios-X na área de metais, no Departamento de análises físico-químicas do CPqD.

3.3. Atividades industriais

3.3.1. COIM Brasil Ltda Vinhedo-SP

Técnico de laboratório Jr.

Período: 01/03/2004 à 22/04/2008.

Área de atuação: Resinas, poliuretanos e adesivos.

Atividades: Análises físico-químicas de laboratório (acidez, índice de hidroxila, teor de isocianato, amina e monoaminosilano), análises de infravermelho, cromatografía gasosa e DQO em espectrômetros. Análises de teor de sólidos em balança automática, viscosidade em aparelho brokfield digital e de índices de refração, testes de reatividade com poliuretano. Análises de laboratório de resinas para aplicação em tintas e vernizes, entre elas, viscosidade gardner, densidade, aplicação com matérias primas diversas e teor de sólidos. Testes de aplicação de adesiva base água utilizando um aparelho Kratos para cálculo de coeficiente de fricção e realização de análise de formação de espuma.

3.3.2.Unilever Bestfoods Brasil LTDA Itatiba-SP

Técnico de laboratório com responsabilidade técnica

08/08/2000 à 05/03/2003

Área de atuação: Detergente em pó

Atividades: Análises físico-químicas de laboratório (alcalinidade, matéria ativa e índice de Acidez de ácido sulfônico), análise de produtos de planta de sulfonação, de umidade e densidade de detergentes e de matéria prima, revisão e formulação do produto e responsabilidade técnica.

3.3.3. Indústria Química Arco LTDA Itatiba-SP

Auxiliar de Laboratório e estágio técnico supervisionado.

De 07/02/1995 à 16/07/1995

Área de Atuação: Detergente em pó e líquido, auxílio no desenvolvimento de produtos domissanitários.

Atividades: Análises físico-químicas de laboratório, de matérias primas e auxílio no desenvolvimento de desinfetantes, xampu, sabões de lavalouças, amaciantes e detergentes.

3.4. Cursos

- 3.4.1.Formação de membros da CIPA pelo SENAI 1995 na ARISCO em abril de 2005 (18 horas) e em junho de 2006 (20 horas) pela COIM Brasil LTDA.
- 3.4.2. Segurança em laboratório na Semana da Química no Instituto de Química de Araraquara em outubro de 1996 (4 horas).
- 3.4.3. Curso teórico e de manuseio de Aparelho de Fluorescência de Raios-X, (ANACOM Científica), no CPqD em setembro de 1999 (32 horas)
- 3.4.4.Fragrâncias para detergentes na IFF (International Flavors & Fragrances INC), em agosto de 2000 (4 horas).
- 3.4.5.Treinamento Comportamental Em julho de 2006 (20 horas) pela COIM Brasil LTDA.

Resumo

Fotodimerização no estado sólido: obtenção e caracterizaçãosubstâncias ciclobutânicas

A fotodimerização de compostos orgânicos no estado sólido vem sendo utilizada como um método de síntese promissor na obtenção de substâncias ciclobutânicas. Pesquisas recentes relataram as atividades analgésicas e anticancerígenas dessas substâncias. Este trabalho teve como objetivo a obtenção de substâncias ciclobutânicas pelas fotodimerizações de ácidos trans-cinâmicos e cumarinas, no estado sólido, usando lâmpadas de vapor de mercúrio de 125W e 400W e um controle sistemático do tempo de exposição, com posteriores reações de transformações de grupos funcionais. Essas transformações forneceram substâncias com estruturas análogas às de lignanas ciclobutânicas naturais. A següência sintética envolveu a síntese dos ácidos trans-cinâmicos, fotodimerização no estado sólido, esterificação dos diácidos e posterior redução dos ésteres metílicos. Os resultados mais promissores foram obtidos com os ácidos 4-hidroxi-trans-cinâmico e trans-2-furilacrílico, que forneceram os dímeros α-truxílico e β-truxínico, respectivamente. Das três cumarinas irradiadas, 3-ácido carboxílico-cumarina, 7-metoxicumarina e 7-metilcumarina, apenas a última não mostrou evidências claras de Os resultados obtidos foram correlacionados empacotamento cristalino favorável ou não das substâncias recristalizadas e submetidas à irradiação. As dimerizações foram confirmadas, inicalmente, pelo desaparecimento gradual da banda olefinica nos espectros de infravermelho e, depois, pelos sinais dos hidrogênios e dos carbonos do anel ciclobutânico, nos espectros de RMN ¹H e RMN ¹³C, respectivamente.

Abstract

Photodimerization in the solid state: obtention and characterization of cyclobutanic substances

Photodimerization of organic compounds in the solid state has been used as promising synthetic method in the obtention of cyclobutanic substances. Accounts of recent research have mentioned the analgesic anticarcinogenic activities of those substances. This work had as objective the obtention of cyclobutanic substances by the photodimerization of transcinnamic acids and coumarins, in the solid state, using mercury steam lamps of 125W and 400W and systematic control of the exposition time, with subsequent reactions of functional groups transformation. The synthetic sequence was developed by the syntheses of the trans-cinnamic acids, photodimerization in the solid state, esterification of the diacids and subsequent reduction of the methyl esters. The most promising results were obtained for 4-hydroxy-trans-cinnamic and trans 2-furylacrylic acids, which afforded α-truxillic and β-truxinic dimers, respectively. From the three coumarins irradiated, 3-carboxylic acid-coumarin, 7-methoxycoumarin and 7methylcoumarin, only the last one do not showed clear evidence of dimerization. Those results were correlated with the favorable or unfavorable crystalline package of the substances recrystallized and submitted to the irradiation. The dimerizations were confirmed, initially, by the gradual disappearance of the olefinic band in the infrared spectra and, later, by the signals of the hydrogens and carbons of the cyclobutanic rings in the spectra of RMN ¹H and RMN ¹³C spectra, respectively.

Símbolos e abreviaturas

δ: deslocamento químico

v: estiramento

λ: comprimento de onda

γ-H: hidrogênio "gama"

β-H: hidrogênio "beta"

Ar-: grupo arila

CCD: cromatografia em camada delgada

d: dupleto

dd: duplo dupleto

DEPT: Distortionless Enhancemnet by Polarization Transfer

DMSO: dimetilsulfóxido

Et: grupo etila

HSQC: Heteonuclear Single Quantum Coherence

IV: Infravermelho

J : constante de acoplamento escalar

Ph: grupo fenila

ppm: partes por milhão

MHZ: megahertz

m: multipleto

R-: grupo substituinte

RMN de ¹H: Ressonância Magnética Nuclear de Hidrogênio-1

RMN de ¹³C: Ressonância Magnética Nuclear de Carbono-13

s: singleto

t: tripleto

THF: tetraidrofurano

TMS: tetrametilsilano

Índice

| Índice de tabelas | XXV |
|---|--------|
| Índice de figuras | XXVII |
| Índice de espectros Capítulo 1 – Introdução 1.1. Lignanas e neolignanas 1.2. Atividades biológicas 1.3. Arranjos das moléculas no retículo cristalino | |
| Capítulo 1 – Introdução | 1 |
| 1.1. Lignanas e neolignanas | 4 |
| 1.2. Atividades biológicas | 5 |
| 1.3. Arranjos das moléculas no retículo cristalino | 6 |
| 1.4. Aspectos conformacionais dos ciclobutanos | 8 |
| 1.5. Fotoquímica e aspectos mecanísticos de ciclobutanos | 9 |
| 1.6. Compostos ciclobutânicos naturais em organismos | |
| animais | 11 |
| 1.7. Cumarinas | 12 |
| Capítulo 2 — Objetivos | 13 |
| Capítulo 3 — Métodos de Sínteses | 14 |
| 3.1. Sínteses de ácidos <i>trans</i> -cinâmicos | 14 |
| 3.2. Sínteses de ésteres cinâmicos e ciclobutânicos | 15 |
| 3.3. Síntese de ciclobutanos via fotodimerização de | ácidos |
| trans-cinâmicos | 16 |

| Capítulo 4 | 4 – Resultados e Discussão | 19 |
|------------|--|------|
| | 4.1. Sínteses de compostos ciclobutânicos e caracteriza | ıção |
| | por espectroscopia de Infravermelho e RMN ¹ H. | 19 |
| | 4.1.1. Ácido 4-hidroxi-3-metoxi-trans-cinâmico 28 | 19 |
| | 4.1.2. Ácido 4-hidroxi-3-etoxi-trans-cinâmico 29 | 20 |
| | 4.1.3. Tentativas de dimerização dos ácidos 28 e 29 | 23 |
| | 4.1.4. Ácido 4-metoxi-trans-cinâmico 30 | 25 |
| | 4.1.5. Tentativas de dimerização do ácido 30 | 26 |
| | 4.1.6. Ácido-4-hidroxi-trans-cinâmico 27 | 27 |
| | 4.1.7. Diol -α-truxílico 40 | 30 |
| | 4.1.8. Ácido trans-2-furilacrílico 33 | 31 |
| | 4.1.9. Diol β-truxínico 53 | 35 |
| | 4.2. Análise de RMN ¹³ C dos compostos sintetizados | 35 |
| | 4.2.1. Éster 4,4`-diidroxi-α-truxilato de metila 39 | 36 |
| | 4.2.2. <i>Trans-</i> 2-furilacrilato de metila <i>50</i> | 37 |
| | 4.2.3. Éster do tipo β-truxinato 52 | 38 |
| | 4.3. Análises espectroscópicas das cumarinas e de | |
| | seus dímeros | 40 |
| | 4.3.1. Cumarinas | 40 |
| | 4.3.2. 7-Metoxicumarina <i>36</i> | 40 |
| | 4.3.3. Dímero da 7-metoxicumarina 49 | 41 |
| | 4.3.4. 3-ácido carboxílico-cumarina 35 | 42 |
| | 4.3.5. Éster metílico da 3-ácido carboxílico-cumarina | |
| | 55 | 43 |
| | | |

3.4. Reações de redução de diésteres ciclobutânicos

18

| | 4.3.6. Obtenção do diéster metílico da 3-ácido carboxíl | ico- |
|------------|--|------|
| | cumarina 54 | 43 |
| Capítulo 5 | 5 – Parte Experimental | 45 |
| | 5.1. Informações gerais | 45 |
| | 5.2. Síntese do ácido ferúlico 28 | 45 |
| | 5.2.1 Síntese do 4-hidroxi-3-metoxi- <i>trans</i> -cinamato | |
| | de metila 42 | 46 |
| | 5.2.2. Síntese do ácido 4-hidroxi-3-etoxi- <i>trans</i> -cinâmic | 0 |
| | 29 | 47 |
| | 5.2.3. Síntese do 4-hidroxi-3-etoxi- <i>trans</i> -cinamato de | |
| | metila 43 | 48 |
| | 5.2.4. Síntese do ácido 4-metoxi- <i>trans</i> -cinâmico 30 | 48 |
| | 5.2.5. Síntese do 4-metoxi- <i>trans</i> -cinamato de metila | |
| | 48 | 49 |
| | 5.2.6. Síntese do ácido 4-hidroxi-3,5-dimetoxi- <i>trans</i> - | |
| | cinâmico 31 | 50 |
| | 5.3. Fotodimerização dos ácidos trans-cinâmicos | 50 |
| | 5.4. Síntese do éster 4-hidroxi- <i>trans</i> -cinamato de metil | la |
| | 37 | 50 |
| | 5.4.1. Fotodimerização do ácido 4-hidroxi- <i>trans</i> -cinâm | iico |
| | 27 | 51 |
| | 5.4.2. Síntese do 4,4`-diidroxi-α-truxilato de dimetila | |
| | 39 | 52 |

| | 5.4.3. Redução do 4,4 -diidroxi-α-truxilato de | |
|------------|---|----|
| | dimetila 36 | 53 |
| | 5.5. Síntese do éster <i>trans</i> -2-furilacrilato de metila <i>50</i> | 53 |
| | 5.5.1. Fotodimerização do ácido trans-2- | |
| | furilacrílico 33 | 54 |
| | 5.5.2. Síntese do diéster β-truxínico 52 | 54 |
| | 5.5.3. Redução do diéster β-truxínico 52 | 55 |
| | 5.6. Fotodimerização da 7-metoxicumarina 36 | 56 |
| | 5.7. Fotodimerização do ácido 3-ácido carboxílico | |
| | cumarina 35 | 56 |
| | 5.7.1. Síntese do éster metílico da 3-ácido carboxílico- | |
| | cumarina 55 | 57 |
| | 5.7.2. Síntese do diéster metílico do dímero da 3-ácido | |
| | carboxílico cumarina 54 | 57 |
| | 5.8. Testes de fotodimerização 7-metilcumarina <i>34</i> | 58 |
| | | |
| Capítulo 6 | – Conclusões | 59 |
| Capítulo 7 | – Bibliografia | 61 |

Indice de Tabelas

| Tabela 1 Deslocamentos químicos RMN H¹(CDCl ₃) do composto 29 | 22 |
|---|----|
| Tabela 2 Deslocamentos químicos RMN H¹(CDCl ₃) do composto 43 | 24 |
| Tabela 3 Deslocamentos químicos RMN H¹(CDCl ₃) do composto 37 | 27 |
| Tabela 4 Deslocamentos químicos RMN H¹(CDCl ₃) do composto 39 | 30 |
| Tabela 5 Deslocamentos químicos RMN H¹(CDCl ₃) do composto 50 | 33 |
| Tabela 6 Deslocamentos químicos RMN H¹(CDCl ₃) do composto 52 | 34 |
| Tabela 7 Sinais atribuídos aos carbonos do éster 39 | 37 |
| Tabela 8 Sinais atribuídos aos carbonos do éster 50 | 38 |
| Tabela 9 Sinais atribuídos aos carbonos do éster 52 | 40 |

Índice de figuras

| Figura 1. Formas α e β do ácido <i>trans</i> -cinâmico | 1 |
|---|----|
| Figura 2. Ácido α-truxílico 3 e ácido β-truxínico 4 | 2 |
| Figura 3. Ácido 3,4-metilenodioxi-trans-cinâmico (I) e ácido 3,4-dimetoxi- | |
| trans-cinâmicos (II) | 2 |
| Figura 4. Estrutura e numeração da cadeia de <i>n</i> -propilbenzenos | 5 |
| Figura 5. Numerações das cadeias carbônicas de uma lignana (6), e de uma | |
| cicloneolignana (7) com anéis ciclobutânicos | 5 |
| Figura 6. Interações entre os hidrogênios dos grupos ácidos carboxílicos | 6 |
| Figura 7. Arranjo das moléculas do ácido trans-cinâmico no retículo cris- | |
| talino com a forma α | 6 |
| Figura 8. Arranjo das moléculas do ácido trans-cinâmico no retículo cris- | |
| talino com a forma β | 7 |
| Figura 9. Arranjo das moléculas do ácido <i>trans</i> -cinâmico no retículo cris- | |
| talino com a forma γ. | 7 |
| Figura 10. Arranjos α e β e as estruturas dos dímeros | 7 |
| Figura 11. Ângulos de ligação das moléculas de ciclopropano, ciclobutano | |
| e ciclopentano | 8 |
| Figura 12. Duas formas possíveis para os hidrogênios dos ciclobutanos | |
| pseudo-axial (aa) e pseudo-equatorial (ee) | 9 |
| Figura 13. Conformação preferida pelos ciclobutanos 1,3-dissubstituídos | 9 |
| Figura 14. Formação de ciclobutano a partir da quebra de ligações π | |
| olefinicas | 10 |
| Figura 15. Formação de ciclobutano a partir da abstração de prótons γ-H | |
| e β-H e rearranjo de ligações | 11 |

| Figura 16. | Proposta de biossíntese da Anotinina | 11 |
|------------|---|----|
| Figura 17. | Estrutura e numeração básica de uma cumarina (III) | 12 |
| Figura 18. | Condensação de Knoevenagel | 14 |
| Figura 19. | Condensação de Doebner | 14 |
| Figura 20. | Esterificação de Fischer | 15 |
| Figura 21. | Esterificação via cloreto de acila. | 15 |
| Figura 22. | Esterificação usando diazometano | 16 |
| Figura 23. | Transições de energia por absorção de radiação ultravioleta | 17 |
| Figura 24. | Arranjo cabeça-cauda do ácido trans-cinâmico | 17 |
| Figura 25. | Arranjo cabeça-cabeça do ácido trans-cinâmico | 17 |
| Figura 26. | Reação de redução com LiAlH ₄ | 18 |
| Figura 27. | Síntese do ácido ferúlico 28 | 19 |
| Figura 28. | Reação de esterificação do ácido 28 | 20 |
| Figura 29. | Síntese do ácido etilferúlico 47 | 20 |
| Figura 30. | Reação de esterificação do ácido 29 | 22 |
| Figura 31. | Estrutura do ácido 4,4`-diidroxi-3,3`-dimetoxi-α-truxílico 44 | 25 |
| Figura 32. | Reação de obtenção do ácido 30 | 25 |
| Figura 33. | Reação de esterificação do ácido 30 | 26 |
| Figura 34. | Reação de obtenção do 4,4`-diidroxi-α-truxílico 38 | 27 |
| Figura 35. | Reação de esterificação do ácido 27 | 28 |
| Figura 36. | Reação de esterificação do diácido 38 | 29 |
| Figura 37. | Reação de redução do éster dimérico | 3 |
| Figura 38. | Reação de esterificação do ácido 33 | 3 |
| Figura 39. | Reação de fotodimerização do ácido <i>trans</i> -2-furilacrílico 33 | 33 |
| Figura 40. | Reação de esterificação do diácido 51 | 33 |
| Figura 41. | Rota sintética proposta para obtenção do diol dimérico 53 | 35 |

| Figura 42. Estrutura da 7- metoxicumarina 36 | 41 |
|---|----|
| Figura 43. Estrutura do dímero da 7-metoxicumarina 49 | 41 |
| Figura 44. Estrutura da 3-ácido carboxílico-cumarina 35 e do dímero 56 | 42 |
| Figura 45. Síntese do éster metílico da 3-ácido carboxílico-cumarina 55 | 43 |
| Figura 46. Reação de esterificação do diácido 56 com diazometano | 44 |

Índice de Espectros

| E-1: Espectro de infravermelho do ácido-4-hidroxi- <i>trans</i> -cinâmico 27 | 67 |
|--|----|
| E-2: Espectro de infravermelho do diácido 4,4'-diidroxi-α-truxílico 38 | 67 |
| E-3: Espectro de infravermelho do 4-hidroxi- <i>trans</i> -cinamato de metila <i>37</i> | 68 |
| E-4: RMN ¹ H do 4-hidroxi-trans-cinamato de metila <i>37</i> | 69 |
| E-5: Espectro de infravermelho do 4,4'-diidroxi- α-truxilato de metila 39 | 68 |
| E-6: RMN ¹ H do 4,4'-diidroxi-α-truxilato de metila <i>39</i> | 69 |
| E-7: RMN ¹³ C do 4,4'-α-truxilato de metila <i>39</i> | 70 |
| E-7 a: Mapas de contorno do 4,4'-α-truxilato de metila 39 | 70 |
| E-8: Espectro de infravermelho do ácido ferúlico 28 | 71 |
| E-9: Espectro de infravermelho do 4-hidroxi-3-metoxi- <i>trans</i> -cinamato de | |
| metila 42 | 71 |
| E-10: Espectro de infravermelho do ácido 4-hidroxi-3-etoxi- <i>trans</i> -cinâmi- | |
| co 29 | 72 |
| E-11: RMN ¹ H do ácido 4-hidroxi-3-etoxi- <i>trans</i> -cinâmico 29 | 73 |
| E-12: Espectro de infravermelho do 4-hidroxi-3-etoxi- <i>trans</i> -cinamato de | |
| metila 43 | 72 |
| E-13: RMN ¹ H do 4-hidroxi-3-etoxi- <i>trans</i> -cinamatode metila <i>43</i> | 73 |
| E-14: Espectro de infravermelho do ácido 4-metoxi- <i>trans</i> -cinâmico 30 | 73 |
| E-15: Espectro de infravermelho do 4-metoxi- <i>trans</i> -cinamato de metila 48 | 73 |
| E-16: Espectro de infravermelho do 3-ácido carboxílico-cumarina 35 | 74 |
| E-17: Espectro de infravermelho da evolução de reação de 35 | 74 |
| E-18: Espectro de infravermelho dos produto(s) formado(s) | 74 |
| E-19: Espectro de infravermelho da 7-metoxicumarina 36 | 75 |
| E-20: Espectro de infravermelho da evolução da reação 36 | 75 |
| E-21: Espectro de infravermelho do dímero formado | 75 |

| E-22: Espectro de infravermelho do ácido <i>trans</i> -2-furilacrílico 33 | 76 |
|--|----|
| E-23: Espectro de infravermelho do ácido tipo β-truxínico <i>51</i> | 76 |
| E-24: Espectro de infravermelho do <i>trans</i> -2-furilacrilato de metila <i>50</i> | 77 |
| E-25: RMN ¹ H do <i>trans</i> -2-furilacrilato de metila <i>50</i> | 78 |
| E-26: RMN ¹³ C do <i>trans</i> -2- furilacrilato de metila <i>50</i> | 79 |
| E-27: Mapas de contorno do β-truxinato 52 | 77 |
| E-28: RMN ¹ H do β-truxinato 52 | 78 |
| E-29: RMN ¹³ C do β-truxinato 52 | 79 |
| E-30: DEPT 90 e 135 do <i>trans</i> -2-furilacrilato de metila 50 | 80 |
| E-31: DEPT 90 e 135 do β-truxinato 52 | 80 |
| E-32: Mapas de contorno do <i>trans</i> -2-furilacrilato de metila <i>50</i> | 81 |
| E-33: Mapas de contorno do β-truxinato 52 | 81 |
| E-34: RMN ¹ H do ácido 4-hidroxi-3-metoxi- <i>trans</i> -cinâmico 29 | 82 |
| E-35: RMN ¹ H do 4-hidroxi-3-metoxi- <i>trans</i> -cinamato de metila <i>43</i> | 82 |
| E-36: Espectro de infravermelho do éster metílico 3-ácido carboxílico- | |
| cumarina 55 | 83 |
| E-37: Espectro de infravermelho do diéster metílico dimérico cabeça-cauda | ı |
| 3-ácido carboxílico-cumarina <i>54</i> | 83 |
| E-38: Espectro de infravermelho da 7-metilcumarina 34 | 84 |
| E-39: Espectro de infravermelho da 7-metilcumarina após 240 horas de | |
| irradiação 34 | 84 |
| E-40: RMN ¹ H da 7-metoxicumarina 36 | 85 |
| E-41: RMN ¹ H da 7-metoxicumarina dimérica cabeça-cauda 49 | 85 |
| E-42: RMN ¹³ C da 7-metoxicumarina <i>36</i> | 86 |
| E-43: RMN ¹³ C da 7-metoxicumarina dimérica cabeça-cauda 49 | 86 |
| E-44: DEPT 90 e 135 da 7-metoxicumarina 36 | 87 |
| E-45: DEPT 90 e 135 da 7-metoxicumarina dimérica cabeca-cauda 49 | 87 |

| E-46: RMN ¹ H do éster metílico 3-ácido carboxílico-cumarina 55 | 88 |
|--|----|
| E-47: RMN ¹ H do diéster metílico dimérico cabeça-cauda 3-ácido carboxí- | |
| lico-cumarina 54 | 88 |
| E-48: RMN ¹³ C do diéster metílico dimérico cabeça-cauda 3-ácido carboxí- | |
| lico-cumarina 55 | 89 |
| E-49: Mapas de Contorno da 7-metoxicumarina 36 | 89 |

1. INTRODUÇÃO

O comportamento da fotodimerização de compostos orgânicos no estado sólido está diretamente ligado a estrutura cristalina das espécies reagentes e ocorre com um mínimo de movimentação atômica e molecular. Cohen e Schmidt ¹ foram os primeiros a estudar detalhadamente os mecanismos e comportamentos dessas reações. Seus resultados mostraram que compostos orgânicos com estruturas químicas semelhantes apresentavam diferenças significativas de comportamento no estado sólido, reagindo de modo diferente quando submetidos à reação no estado sólido ¹.

Os resultados obtidos mostraram que a fotodimerização de ácidos *trans*cinâmicos com a estrututra cristalina na forma estável α *1* forneciam somente
o dímero ácido α -truxílico *3*, e com os ácidos na forma β *2* era obtido o ácido
metaestável β truxínico *4* desde que os experimentos fossem realizados à
baixa temperatura. Temperaturas acima de 50° provocavam a transformação
da fase β para a fase α e eram obtidos misturas dos dímeros α -truxílicos *3* e β -truxínicos *4* 2 .

Ar COOH

$$Ar$$
 COOH

 Ar $COOH$
 Ar COO

Figura 1: Formas α e β do ácido trans-cinâmico.

Figura 2: Ácido α-truxílico 3 e ácido β-truxínico 4.

Estudos do comportamento de diversos derivados de ácidos *trans*cinâmicos com substituintes no anel em *orto*, *meta* e/ou *para*-substituídos
foram realizados na tentativa de verificar se resultados semelhantes eram
obtidos, quando o fator impedimento estérico estivesse presente ².

Desijaru e colaboradores realizaram um estudo da "engenharia dos cristais" dos ácidos 3,4-metilenodioxi-*trans*-cinâmico (I) e 3,4-dimetoxi-*trans*-cinâmico (II). Os ácidos que continham o grupo 3,4-metilenodioxi, grupo planar e compacto, dimerizaram para ácidos β -truxínicos ³. No entanto, o ácido 3,4-dimetoxi-*trans*-cinâmico (II) por apresentar grupos substituintes dimetoxi volumosos, não permitiu empacotamentos do tipo β . Os autores concluiram então que grupos substituintes do anel benzênico podiam orientar a formação do retículo cristalino ³.

$$COOH$$
 CH_3O
 CH_3O
 CII

Figura 3. Ácido 3,4-metilenodioxicinâmico (I) e ácido 3,4- dimetoxicinâmico (II).

Altos rendimentos de ácidos β -truxínicos foram relatados por Nishikubo e colaboradores em temperaturas até 50°C ⁴. Nesse trabalho, cristais de

cinamatos de 4-nitrofenila foram submetidos a irradiação e posteriormente hidrolisados 4 . Os autores concluíram que os rendimentos obtidos para o β -truxinato bis(4-nitrofenila) não foram afetados pelo fatores temperatura e solvente, mas influenciados pelo tempo de irradiação e pelas quantidades de amostras suspensas em hexano 4 .

Schmidt e colaboradores realizaram análises de raios-X dos diácidos diméricos sintetizados e concluíram que as geometria dos dímeros obtidos estava relacionada com a disposição dos carbonos das duplas ligações vizinhas presentes nos monômeros 5 . As estruturas dos cristais do ácido *trans*-cinâmico foram divididas em três grupos (α,β,γ) de acordo com as análises de raios -X do retículo cristalino 5 . As formas α e β do ácido exigem uma distância de separação entre as ligações duplas de 3.6-4.1 Å para a dimerização. Não é o caso da forma γ , onde a distância de separação é de 4.7-5.1 Å 5 . As figuras 6, 7 e 8 das páginas 6 e 7 mostram esses arranjos cristalinos.

Kelley e colaboradores realizaram análises RMN ¹³C de ácidos *trans*-cinâmicos e de um série o-alquilatos desses ácidos ⁶. Mais tarde, Eliel fez um estudo detalhado de espectros de RMN ¹³C de ciclobutanos com grupos metilas e carboxila ⁷. Já Agrawal e Thakur ⁸ fizeram uma ampla revisão de análises espectroscópicas de RMN ¹³C de lignanas e neolignanas, incluindo substâncias ciclobutânicas.

Um trabalho envolvendo a extração, isolamento e identificação de princípios ativos presentes nas folhas de plantas *Traversia baccharoides* e fotodimerização no estado sólido por Kulanthaivel e Benn, possibilitou a obtenção de um dímero α-truxilato a partir do n-butil-cafeato ⁹.

Pesquisas envolvendo síntese de ácidos truxílicos a partir de ácidos 4hidroxicinâmicos e ácidos ferúlicos, com o objetivo de simular fotodimerização nas paredes celulares de plantas, foram realizados por Hartley e Morrison ¹⁰.

1.1. Lignanas e neolignanas

Os produtos ciclobutânicos obtidos neste trabalho têm esqueletos carbônicos análogos aos das lignanas ciclobutânicas naturais. Um resumo sobre definições e nomenclaturas de lignanas e neolignanas é descrito a seguir.

Lignanas são substâncias formadas através do acoplamento oxidativo de álcoois cinâmicos e/ou ácidos cinâmicos, enquanto que neolignanas são orientadas pelo acoplamento oxidativo de 1-propenilafenóis e/ou alilfenóis ^{11a}. O termo lignana surgiu por volta de 1940. Haworth atribuiu esta designação a um grupo de substâncias de uma categoria de plantas que possuiam duas unidades básicas em comum C₆-C₃ (n-propilbenzênicas) ligadas por átomos de carbonos centrais (β) de cada lado da cadeia ^{11a, 11b}. Mais tarde Freudenberg e Weinges enumeraram a primeira unidade n-propilbenzênica (C₆-C₃) de 1 a 9 e a segunda unidade de 1'a 9', estabelecendo uma numeração consistente para as estruturas destas substâncias 11b,11c (5). Posteriormente, o nome neoliganana foi introduzido por Gottlieb 11c. A descoberta de outros esqueletos com variedade de uniões entre as unidades n-propilbenzênicas levou a comissão da IUPAC a propor as seguintes definições para lignanas e neolignanas ^{12,13}: lignanas são substâncias que possuem as duas unidades n-propilbenzênicas unidas pela ligação C₈-C₈, podendo ser cíclicas havendo uma ligação adicional ¹³ (6); neolignanas são substâncias que não possuem as duas unidades n-propilbenzênicas unidas pela ligação C_8 - C_{8} - 13 (7).

Figura 4: Estrutura e numeração da cadeia de n-propilbenzenos (5)

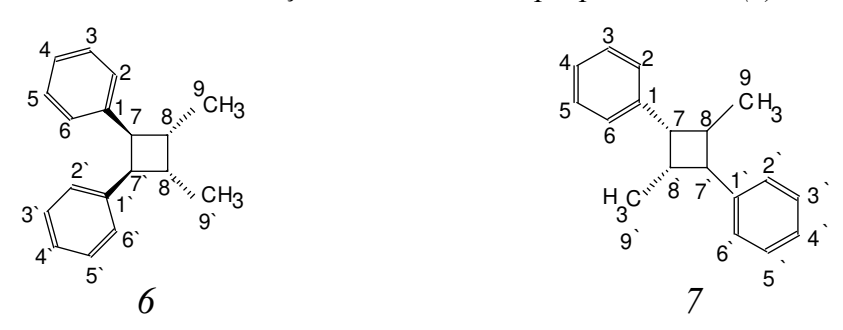


Figura 5: Numerações das cadeias carbônicas de uma lignana (6), e de uma cicloneolignana(7) com anéis ciclobutânico ^{12,13}.

1.2. Atividades biológicas

Existem várias publicações que visam determinar as atividades biológicas destes produtos naturais ^{14,15}. Propriedades antiinflamatórias com atividades inibidoras mais potentes que a morfina foram descobertas em moléculas derivadas de ácidos α-truxílicos¹⁴. Estudos dos mecanismos de atuação destas substâncias como de certos ésteres ciclobutânicos comprovam que elas atuam com potentes efeitos analgésicos, usados no tratamento de reumatismo e alívio de dores ¹⁵. Alguns ésteres *trans*-cinâmicos, entre eles os ésteres ferúlicos e os ésteres caféicos, encontrados no café, girassol, maçãs, uvas e cerejas possuem propriedades antioxidantes que atuam no combate de doenças do coração e inibem alguns tipos de células de câncer ^{15,16}. Testes com ácido ferúlico mostraram que ele é um poderoso inibidor das células do câncer de mama ¹⁷.

1.3. Arranjos das moléculas no retículo cristalino

Segundo o postulado de Shmidt e colaboradores a estruturas dos ácidos cinâmicos substiuídos está dividida em três grupos α , β e γ ⁵. Os centros reativos olefínicos destes ácidos devem estar a uma determinada distância para que a dimerização ocorra ⁵. O arranjo das móleculas dos ácidos cinâmicos substituídos no retículo cristalinos devem ser favoráveis para que os dímeros α -truxílicos e β -truxínicos se formem (Figuras 7, 8 e 10).

No retículo cristalino as moléculas estão unidas em pares, por ligações hidrogênios entre seus grupos carboxila. O centro deste sistema coincide com a posição dos centros de simetria (Figura 6).

Figura 6. Interações entre os grupos carboxila em ácidos carboxílicos

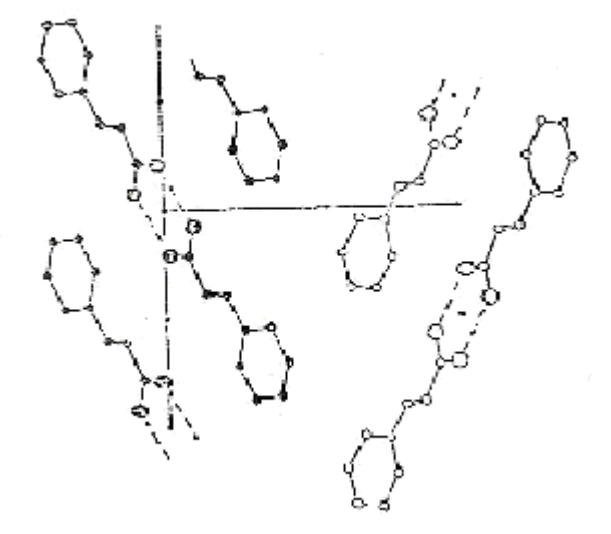


Figura 7. Arranjo das moléculas do ácido <u>trans</u>-cinâmico no retículo cristalino do tipo α^2 .

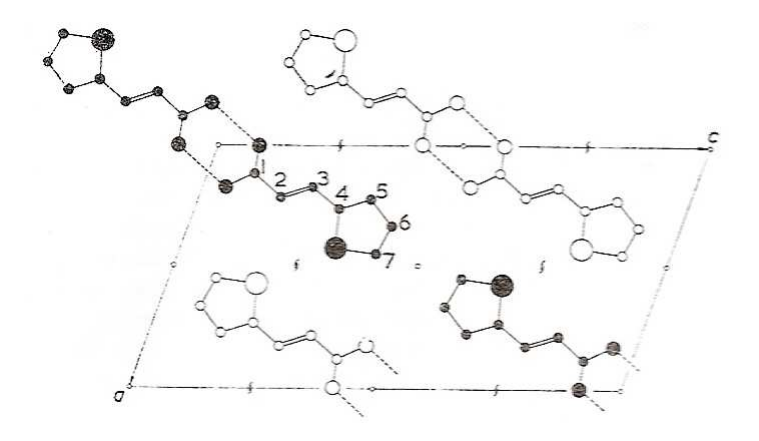


Figura 8: Arranjo das moléculas do ácido <u>trans</u>-cinâmico no retículo cristalino do tipo β^{-18} .

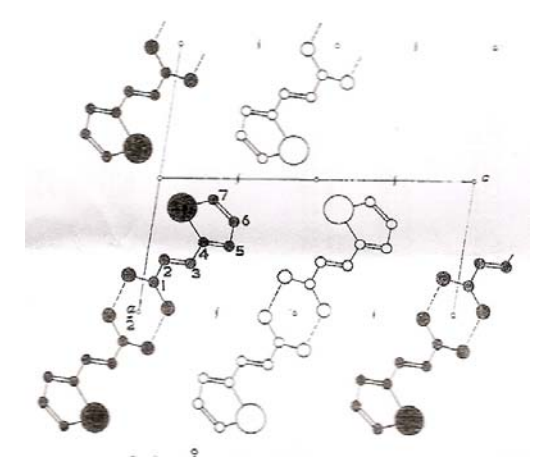


Figura 9. Arranjo das moléculas do ácido \underline{trans} -cinâmico no retículo cristalino do $tipo \ \gamma^{-18}$.

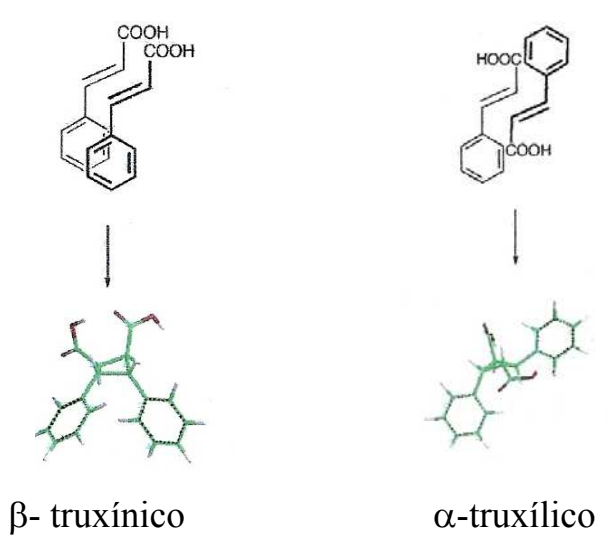


Figura 10. Arranjos α e β e estruturas dos dímeros ¹⁹.

1.4. Aspectos conformacionais dos ciclobutanos

As moléculas de ciclobutanos não são totalmente planares. No final do século XIX a idéia de não planaridade foi introduzida por Sachse 20. Posteriormente, trabalhos teóricos elaborados por Bell ²⁰ e com moléculas de octahidroxiciclobutano e de octaclorociclobutano, respectivamente planares e não planares revelaram que os grupos substituintes são decisivos na trabalhos planaridade da molécula. Outros envolvendo estudo conformacional das moléculas de ciclobutanos realizados por Adman e Margulis ²¹, e Allinger e Tushaus ²², com os ciclobutanos substituídos 1,2,3,4 tetra-fenilciclobutano, ácido 3-trans-ciclobutanodicarboxílico, ácido 1,3-cisciclobutano-dicarboxílico e ácido 1,2-trans-ciclobutano-dicarboxílico confirmaram respectivamente a planaridade dos dois primeiros ciclobutanos e a não planaridade dos outros dois. Hoje se sabe que a conformação mais estável para a molécula é a distorcida. Os ângulos de ligações internos de um ciclobutano são de 88º e, portanto, são menores que os ângulos de ligações normais (109.5°) de um átomo de carbono hibridizado em sp³ na sua forma tetraédrica ^{23,24}. A molécula de ciclobutano apresenta uma de energia de tensão, menor a do ciclopropano que, tem ângulos de ligação de 60°, e maior que a do ciclopentano onde os ângulos de ligação são de 108° 23 (Figura 11).

Figura 11. Ângulos de ligação das moléculas de ciclopropano, ciclobutano e ciclopentano 23 .

O ciclobutano possui também tensão torcional que é aliviada pelo fato de seus hidrogênios não estarem totalmente eclipsados, já que a molécula está distorcida ^{23,24}. A conformação "dobrada" do ciclobutano permite que seus substituintes possam ocupar as posições pseudo-axial e pseudo-equatorial.

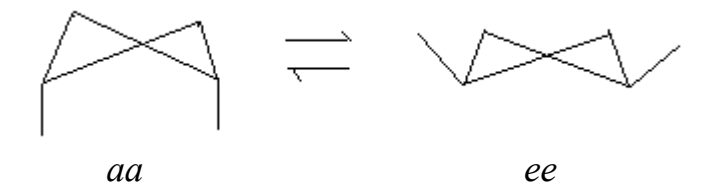


Figura 12. Duas formas possíveis para os hidrogênios dos ciclobutanos: pseudoaxial (aa) e pseudo-equatorial (ee) ²⁵.

Nos ciclobutanos 1,3-dissubstituídos com relação *cis*, os substituintes tendem a assumir a posição pseudo-equatorial ²⁵.

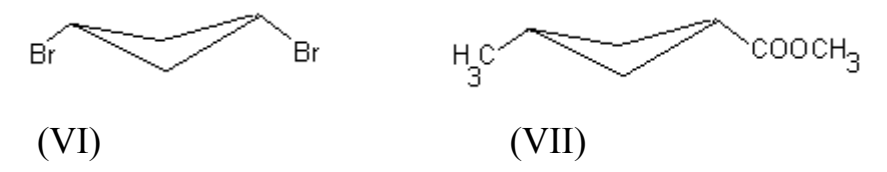


Figura 13. Conformação preferida pelos ciclobutanos 1,3-dissubstituídos.

1.5. Fotoquímica e aspectos mecanísticos em dimerizações

A fotoquímica estuda os estados excitados eletronicamente ^{26,27}. A exposição de compostos orgânicos no estado sólido ou em solução, à luz ultravioleta emitida por uma lâmpada de mercúrio, à temperatura ambiente, pode provocar a formação de espécies diferentes das esperadas em relação às moléculas no estado inicial. A reação é iniciada pela absorção de um quantum de energia pelas moléculas do composto, seguida da transição de um elétron

no estado fundamental para um orbital de maior energia. A obtenção das espécies resultantes depende do comprimento de onda de luz irradiada nas moléculas dos reagentes. Reações envolvendo este tipo de excitação eletrônica não se restrigem apenas aos alcenos simples: compostos carbonílicos e dienos também podem ser dimerizados pela exposição à luz ^{26,27}.

Como nem todos os mecanismos das reações de cicloadição no estado sólido eram bem compreendidos, Cohen e colaboradores 18,28 no final da década de 80 realizaram um trabalho de observação sobre mecanismos de formação de ciclobutanos no estado sólido. Estudando as dimerizações de tetrahidro-1,4-naftoquinonas, Cohen e colaboradores chegaram a conclusão que nem todas as reações de obtenção de ciclobutanos envolviam apenas quebras de 2 ligações π , formação de ligação σ , geração de dirradicais e fechamento do anel ciclobutânico (figura 14). Essa descoberta revelou que os ciclobutanos formados pela fotodimerização a partir das tetrahidro-1,4-naftoquinonas estudadas envolviam a perda de hidrogênios γ -H e β -H e rearranjos intramoleculares 3,5 e 1,6 de seus carbonos, respectivamente 18,28 (figura 15).

$$2 C_6 H_5 CH = CHNO_2 \xrightarrow{h_V} C_6 H_5$$

$$2 \xrightarrow{h_V} 0 \xrightarrow{h_V} 0 \xrightarrow{h_V} 0$$

Figura 14. Formação de ciclobutano a partir da quebra de ligações π olefinicas ²⁷.

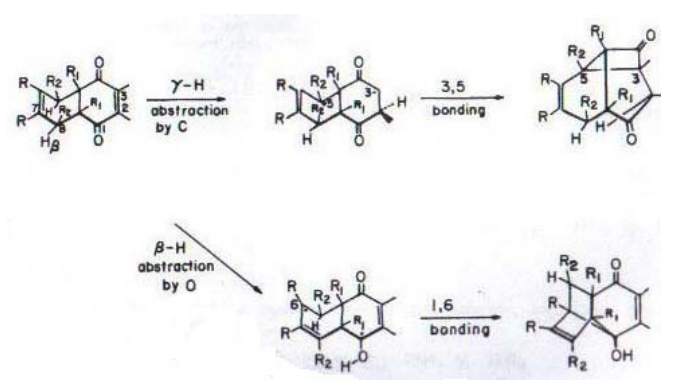


Figura 15. Formação de ciclobutano a partir da abstração de hidrogênios γ -H e β -H e rearranjo de ligações 18,28 .

1.6. Compostos ciclobutânicos naturais em organismos animais

Estudos de isolamento e identificação de produtos naturais de origens animais vem sendo objeto de estudo de vários grupos de pesquisas.

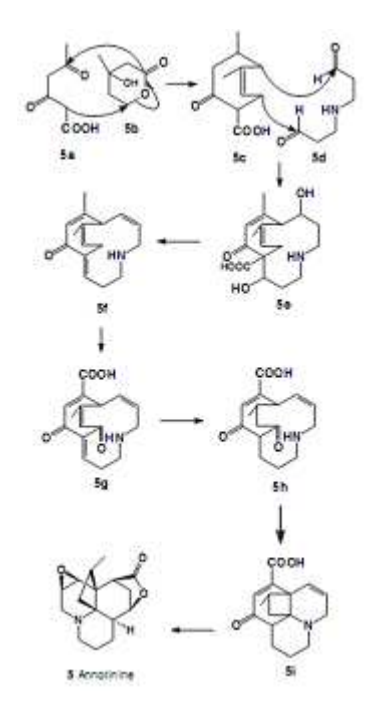


Figura 16. Proposta de biossíntese da anotinina ²⁹.

Dembistky e colaboradores ^{29,30} verificaram ocorrências de substâncias ciclobutânicas naturais com atividades biológicas em bactérias, fungos e animais marinhos invertebrados, como também fizeram propostas de rotas biossintéticas para alguns compostos isolados como a anotinina (Figura 17). Algumas das substâncias isoladas mostraram-se potente ação protetora contra radiação ultravioleta ³¹.

1.7. Cumarinas

As cumarinas são um grupo de substâncias naturais que possuem anel benzênico ligado a um anel lactônico:

Figura 17. Estrutura e numeração básica de uma cumarina (VIII)

Assim como para os ácidos cinâmicos, existem trabalhos sobre o comportamento das cumarinas quando expostas à presença de luz como os de Morrison que constatou a dimerização de cumarinas em solução ³². Posteriormente, um estudo realizado por Gnanaguru ³³ e colaboradores avaliou os efeitos causados por grupos substituintes hidroxila, metila, acetoxila ou metoxila nas fotodimerização de cumarinas.

Vários aspectos mencionados neste capítulo serão comentados também em Resultados e Discussão (Capítulo 4), envolvendo as substâncias submetidas à fotodimerização e os dímeros obtidos neste trabalho.

2. OBJETIVOS

O presente trabalho teve como objetivos:

- Sintetizar substâncias ciclobutânicas através da fotodimerização no estado sólido de ácidos cinâmicos e cumarinas.
- Sintetizar substâncias análogas às lignanas ciclobutânicas naturais via reações de transformação de grupos funcionais.
- Determinar as estruturas das substâncias sintetizadas utilizando espectroscopia de infravermelho, RMN ¹H e RMN ¹³C.

3. MÉTODOS DE SÍNTESE

3.1. Sínteses de ácidos <u>trans</u>-cinâmicos

A literatura apresenta vários métodos para preparação de ácidos *trans*-cinâmicos. Um deles consiste na reação clássica chamada de condensação de Knoevenagel, que envolve a condensação do éster malônico com aldeídos na presença de aminas primárias ou secundárias como base ^{24,34,35}. Um segundo método derivado da reação anterior é a condensação de Doebner ^{34,35} que usa piridina como solvente, piperidina como catalisador e ácido malônico como precursor da condensação com o aldeído. Um método alternativo utiliza o aldeído e anidrido acético sob refluxo a 160°C, por várias horas de reação ³⁴.

CO₂ Et 1.PhCHO NHEt₂ Ph CO₂Et
$$\rightarrow$$
 Ph CO₂Et \rightarrow Ph CO₂Et \rightarrow Ph CO₂Et \rightarrow COOH 3. calor (-CO₂)

Figura 18. Condensação de Knoevenagel 34

Figura 19. Condensação de Doebner

3.2. Sínteses de ésteres cinâmicos e ciclobutânicos

A reação mais comum utilizada na conversão de ácidos a ésteres metílicos e etílicos é a esterificação de Fischer ²⁰, que ocorre em poucas horas sob refluxo, com álcool metílico ou etílico ^{23,24}. Geralmente utiliza-se um excesso do álcool (metanol ou etanol), visando um bom rendimento, e os ácidos mais comuns utilizados como catalisador são ácido sulfúrico ou ácido clorídrico.

Ésteres de ácidos cinâmicos também podem ser obtidos a partir de cloretos de acila ^{23,24}. Os cloretos de acila são bem mais reativos que os ácidos carboxílicos frente a uma reação nucleofílica, e não necessitam de ácido inorgânico como catalisador ²³. Em pequena escala, ésteres metílicos são obtidos usando ácidos cinâmicos e diazometano ²⁴, pois o agente alquilante é bastante reativo, o que torna a reação relativamente rápida ¹⁹.

Figura 20. Esterificação de Fischer

Figura 21. Esterificação via cloreto de acila

Figura 22. Esterificação usando diazometano

3.3. Síntese de ciclobutanos via fotodimerização de ácidos <u>trans</u>-cinâmicos

Reações de adição entre duas substâncias que possuam ligações duplas substituídas tornaram-se importantes para a síntese de anéis que contenham quatro átomos de carbonos substituídos, os ciclobutanos ^{22,36,37,38}. Essas reações que envolvem cicloadições intermoleculares na presença de luz, são chamadas de fotodimerizações. São também conhecidas como cicloadições [2+2] e ocorrem em sua maioria via reação radicalar ²².

As cicloadições [2+2] em solução ocorrem em sua maioria de maneira não concertada, via dirradicais. Durante este processo há a quebra de duas ligações π e a formação de uma nova ligação σ , gerando um dirradical intermediário que em seguida forma o anel ciclobutano 26,27 .

A amostra no estado sólido cristalino, ou em solução, é exposta diretamente à luz emitida por uma lâmpada (mercúrio, por exemplo) e esta deve receber quantidade de energia mínima suficiente para formar a espécie correspondente ao estado singlete S_1^{27} . Assim, por irradiação direta, um estado excitado singlete de um alqueno poderá reagir com o estado fundamental do outro e formar o ciclobutano desejado 27 . Estados singletes S_2 e estados tripletes também podem ocorrer por sensibilização 26,27 .

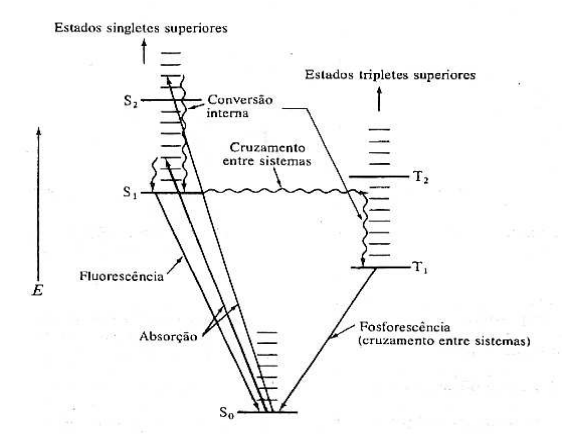


Figura 23: Transições de energia por absorção de radiação ultravioleta.

Para os ácidos *trans*-cinâmicos, Cohen e Schmidt 1 observaram que os cristais com a forma estável α apresentavam suas unidades básicas ligadas na forma cabeça-cauda e que na fotodimerização formava-se o ácido α - truxílico (3). Já a forma metaestável β apresentava suas unidades básicas dispostas na forma cabeça-cabeça e fotodimerizavam para formar o ácido β -truxínico (4).

Figura 24: Arranjo cabeça-cauda do ácido trans-cinâmico.

$$forma \beta$$
 $forma \beta$ $forma \beta$ $forma \beta$

Figura 25: Arranjo cabeça-cabeça do ácido trans-cinâmico.

3.4. Reações de redução de diésteres ciclobutânicos

Pode-se obter álcoois primários e secundários a partir de compostos que possuam grupos carbonila. Ácidos carboxílicos e ésteres quando submetidos à presença de agentes redutores poderosos como hidreto de lítio e alumínio (LiAlH₄) podem ser reduzidos facilmente, com excelentes rendimentos, aos seus respectivos álcoois ^{23,24,34}. Boroidreto de sódio, NaHB₄, também pode ser usado como um agente redutor, porém este é menos reativo, sendo indicado apenas no uso de reduções de aldeídos e cetonas ³⁴.

Os diésteres ciclobutânicos podem ser reduzidos com LiAl H_4 em presença de THF ou 1,2-dimetoxietano em aproximadamente 5 horas de reação 12,38 .

Figura 26: Reação de redução com LiAlH₄.

4. RESULTADOS E DISCUSSÃO

4.1. Sínteses de compostos ciclobutânicos e caracterização por espectroscopia de Infravermelho e RMN ¹H ^{39,40,41}.

Análises de espectros de infravermelho foram realizadas com o objetivo de acompanhar a regressão da banda olefínica dos ácidos-*trans*-cinâmicos submetidos à exposição de radiação ultravioleta emitida por lâmpada de mercúrio. Os respectivos ésteres monoméricos, diácidos e diésteres obtidos foram também analisados pela mesma técnica com a finalidade de obter informação por auxílio na caracterização das substâncias.

Análises de RMN ¹H dos ésteres monoméricos e dos diésteres α-truxílicos e β-truxínicos sintetizados também foram realizados para a caracterização e determinação da estereoquímica relativa dos mesmos.

4.1.1. Ácido 4-hidroxi-3-metoxi-trans-cinâmico 28

O precursor comercial utilizado para obtenção do ácido *trans*-cinâmico 28 foi o aldeído vanilina 41. A reação do aldeído com ácido malônico em piridina e piperidina, à temperatura ambiente, possibilitou a obtenção do ácido desejado em sete dias de reação.

Figura 27. Síntese do ácido ferúlico 28.

Foram obtidos, após purificação por recristalização em etanol-água, cristais amarelo-claro em forma de agulhas do ácido 28 com rendimento de 68% e ponto de fusão de 168-171°C [Literatura 174,5-176,5°C] 42 , espectro de infravermelho (E-8): 3500-3100 ($\sqrt{_{OH}}$), 1690 ($\sqrt{_{C=0}}$), 1619 cm $^{-1}$ ($\sqrt{_{C=c}}$). Em seguida, os cristais foram expostos à irradiação direta de lâmpadas de mercúrio de 125W e 400W.

Parte do ácido ferúlico 28 obtido foi posteriormente esterificado pelo método de Fisher e um resíduo escuro purificado por cromatografía em coluna, foi caracterizado como 4-hidroxi-3- metoxi- *trans*- cinamato de metila 42, espectro de infravermelho (E-9) : 3403 (\sqrt{OH}), 1700 ($\sqrt{C=0}$), 1635 cm⁻¹ ($\sqrt{C=0}$).

Figura 28. Reação de esterificação do ácido 28

4.1.2. Ácido 4-hidroxi-3-etoxi-trans-cinâmico 29

Para a obtenção do ácido 29 utilizou-se como precursor o aldeído etilvanilina 47. A reação do aldeído 47 com ácido malônico em presença de piridina e piperidina, à temperatura ambiente, durante sete dias de reação possibilitou a obtenção do ácido desejado.

Figura 29. Síntese do ácido etilferúlico 29.

O ácido 4-hidroxi-3-etoxi-*trans*-cinâmico 47 forneceu cristais brancos com rendimento de 65%, ponto de fusão de 147°C a 151°C e espectro de infravermelho (E-10): 3540 (\sqrt{O}), 1680 (\sqrt{C} =0), 1623 cm⁻¹ (\sqrt{C} =c).

Tabela 1. Deslocamentos químicos RMN ¹H (CDCl₃) de 29 (E-34).

| Hidrogênio | Deslocamento Químico (ppm) |
|---------------------------|---|
| CH ₃ -etoxila | 0,8 (3H, t) J=6,96 Hz |
| CH ₂ -etoxila | 3,56 (2H, q) J=6,96 Hz |
| H ₈ -olefinico | 5,78 (1H, d) J=15,75 Hz |
| H ₅ -anel | 6,28 (1H, d) J=6,93 Hz |
| H ₆ -anel | 6,45 (1H, dd) J ₁ =6,93 J ₂ = 1,83 Hz |
| H ₂ -anel | 6,51 (1H, d)J=1,83 Hz |
| H ₇ -olefinico | 6,93 (1H, d)J=15,75 Hz |
| OH-aromático | 8,80-8,60 (1H, s) |

O deslocamento químico observado no espectro de RMN ¹H (E-34) em 0,8 ppm (triplete) foi atribuído aos prótons metílicos do grupo metoxila e aos prótons do grupo -(CH₂)- o sinal (quarteto) em 3,56 ppm. Para os prótons olefínicos H₈ e H₇ foram atribuídos os valores 5,78 ppm e 6,93 ppm, respectivamente. Analisando a estrutura do composto, e suas possíveis formas de contribuição de ressonância pela presença do grupo COOH, verifica-se que o carbono 7 possue menor densidade eletrônica o que torna o H₇ mais desprotegido em relação ao H₈. O sinal em 6,51 ppm (dubleto) foi atribuído ao hidrogênio H₂ do anel aromático por ser o mais próximo de dois grupos que

exerçam efeitos de desproteção (grupos etoxila e olefínico). O outro sinal (duplo dubleto) em 6,45 ppm foi atribuído ao H_6 por ser capaz de acoplar com os H_2 e H_5 . Os sinais restantes foram atribuídos ao H_5 (dubleto) em 6,28 ppm e ao hidrogênio do grupo fenólico, um singleto largo característico em 8,80-8,60 ppm 39,40 .

O ácido 4-hidroxi-3-etoxi-*trans*-cinâmico *29* foi esterificado e o precipitado branco amorfo obtido, com rendimento de 80 %, foi caracterizado como 4-hidroxi-3-etoxi-*trans*-cinamato de metila *43*, ponto de fusão 134-138°C, espectro de infravermelho (E-12) : 3525 ($\sqrt{O-H}$), 1712 ($\sqrt{C-O}$), 1636 ($\sqrt{C-C}$ olefínico).

Figura 30. Reação de esterificação do ácido 29

Os deslocamentos de RMN ¹H (E-35) obtidos para 4-hidroxi-3-etoxitrans-cinamato de metila 43 foram atribuídos de maneira análoga a de seu precursor, o ácido 47. O novo sinal foi observado em 3,99 ppm (singleto) foi atribuído aos prótons metílicos do grupo carbometoxila do éster.

Tabela 2. Deslocamentos químicos de RMN ¹H(CDCl₃) de 43 (E-35).

| Hidrogênio | Deslocamento Químico (ppm) |
|-----------------------------|--|
| CH ₃ -etoxila | 1,67 (3H, t) J=6,96 Hz |
| CH ₃ -metoxila | 3,99 (3H, s) |
| CH ₂ -etoxila | 4,34 (2H, q) J=6,96 Hz |
| H ₈ -insaturação | 6,47 (1H, d) J= 15,75Hz |
| H ₅ -anel | 7,12 (1H, d) J= 1,83Hz |
| H ₆ -anel | 7,23 (1H, dd) J_1 = 6,90Hz J_2 =1,83 |
| H ₂ -anel | 7,70 (1H, d,) J=6,90 Hz |
| H ₇ -insaturação | 7,81 (1H, d) J= 15,75Hz |
| _ | |

4.1.3. Tentativas de dimerização dos ácidos 28 e 29.

Infelizmente não foram obtidos dímeros nas tentativas de fotodimerização dos ácidos 28 e 29. Os espectros mostraram persistência da banda olefínica nos dois ácidos após 38 e 28 dias, respectivamente, de exposição à luz.

A primeira tentativa de dimerização dos ácidos 28 e 29 foi realizada sem a recristalização, e sem um controle sistemático de tempo, para verificar o comportamento inicial perante a exposição à luz. Na segunda tentativa recristalizou-se o material, utilizando os sistemas etanol-metanol e etanol-água para ocorrer uma recristalização lenta, e foram obtidos cristais mais definidos para uma posterior fotodimerização. Novamente não foram obtidos resultados satisfatórios.

Outras tentativas de recristalização foram feitas, utilizando o mesmo sistema se solventes (etanol-metanol e etanol-água): recristalizou-se o material de maneira rápida, em banho-maria, na tentativa de obter a forma cristalina

adequada. Os ácidos 4-hidroxi-3-metoxi-*trans*-cinâmico (ácido ferúlico) 28 e o 4-hidroxi-3-etoxi-*trans*-cinâmico 29 foram submetidos à fotodimerização seguindo os mesmos procedimentos de Hartley e colaboradores ¹⁰. Uma mudança do sistema de solventes usado no tratamento dos cristais para recristalizá-los também foi feita: o sistema etanol-metanol foi trocado por acetona-hexano, mas em nenhuma das tentativas de fotodimerização foi obtido êxito.

Nos trabalhos de Morrison e colaboradores ¹⁰, o tempo necessário de irradiação para obter 50% do dímero do ácido ferúlico foi de 480 horas com lâmpada de média pressão e alta potência, enquanto que no mesmo trabalho, os resultados obtidos com a fotodimerização do ácido 4-hidroxi-*trans*-cinâmico 27 atingiram um rendimento de cerca de 96% em apenas 32 horas de irradiação ¹⁰. A partir do ácido 4-hidroxi-*trans*-cinâmico 27, foi obtido o dímero ácido 4,4`-diidroxi-α-truxílico 38 em apenas 48 horas de exposição à lâmpada comum de mercúrio de 400W.

O postulado de Cohen e Schmidt ¹ diz que as reações de fotodimerização para os ácidos *trans*-cinâmicos ocorrem com o mínimo de movimento molecular. A estrutura cristalina do material deve ser favorável, pois só as formas α e β fornecem o dímero, enquanto que a forma γ não dimeriza, uma vez que as ligações duplas das moléculas do ácido devem estar a uma distância definida para que a reação ocorra ¹. No caso dos ácidos 4-hidroxi-3-metoxi-*trans*-cinâmico (ácido ferúlico) 28 e 4-hidroxi-3-etoxi-*trans*-cinâmico 29 sugerimos que a forma do retículo cristalino deve ser a γ, pois é a forma cristalina que não permite a dimerização. O produtos dimérico obtido por Hartley e colaboradores ¹⁰ com a irradiação o ácido 4-hidroxi-3-metoxi-*trans*-cinâmico foi caracterizado como α-truxílico 44. Os estudos feitos por

Desiraju e colaboradores 3 indicaram que ácidos-*trans*-cinâmicos que possuam grupos substituintes volumosos orientam o empacotamento na forma α .

Figura 31. Estrutura do ácido 4,4`-diidroxi-3,3`-dimetoxi-α-truxílico 44 10.

4.1.4. Ácido 4-metoxi-trans-cinâmico 30

A reação do *para*-anisaldeído *45* com ácido malônico, em piridina e piperidina, sob refluxo a 110 °C por um período de 4 horas, levou à formação do ácido 4-metoxi-*trans*-cinâmico *30*. Após purificação por recristalização, foram obtidos cristais brancos com rendimento de 80%, ponto de fusão de $171^{\circ}-174^{\circ}$ C [literatura $169^{\circ}-170^{\circ}$ C]⁴³, espectro de infravermelho (E-14): $3500-2500 \ (\sqrt[4]{O-H}),1686 \ (\sqrt[4]{C=0}) \ e 1623 \ cm^{-1}(\sqrt[4]{C=0}).$

Figura 32. Reação de obtenção do ácido 30

O ácido 30 foi posteriormente esterificado e os cristais obtidos levemente amarelados, foram caracterizados como 4-metoxi-*trans*-cinamato

de metila 48 , ponto de fusão 86,5°-88,5°C [literatura 87°-89°C]⁴³, espectro de infravermelho (E-15) 1717 (\sqrt{c} =o), 1637 (\sqrt{c} =c), 1256 (\sqrt{Ar} -o-r).

Figura 33. Reação de esterificação do ácido 30

Vários ésteres monoméricos, com o éster 48, foram preparados por duas razões principais: (1) servir de referência na separação por cromatografia em coluna da mistura éster monomérico/ éster dimérico, obtido após a fotodimerização; (2) servir de referência na caracterização por espectroscopia de infravermelho e RMN ¹H.

4.1.5. Tentativas de dimerização do ácido 30.

O ácido 4-metoxi-*trans*-cinâmico *30* foi exposto à radiação emitida por lâmpadas de vapor de mercúrio de 150 e 400W. Durante o período de irradiação placas CCD e espectros de infravermelho foram realizados para acompanhar a regressão da banda olefínica que confirmasse a formação do dímero. Após 392 horas de exposição e várias recristalizações nenhum produto foi encontrado. Sugeriu-se que a forma do retículo cristalino, neste caso, também deve ser a γ, pois é a forma cristalina que não permite a dimerização. O grupo metoxila não deve permitir a aproximação necessária dos centros reativos (-C=C-) das moléculas do ácido *30* para que ocorra a dimerização. No ácido *27* que será abordado a seguir, a presença do substituinte hidroxila, em vez de metoxila, no anel benzênico permitiu a

obtenção de dímero do tipo α-truxílico, pelo fato do substituinte hidroxila ser menos volumoso e de poder fazer ligações hidrogênio no retículo cristalino.

4.1.6. Ácido-4-hidroxi-trans-cinâmico 27

Dos materiais submetidos à irradição, os resultados mais promissores foram obtidos com o ácido-4-hidroxi-trans-cinâmico 27, espectro de infravermelho (E-1): 3500-3100 ($\sqrt{_{OH}}$), $1671(\sqrt{_{C}}=0)$, 1627 cm⁻¹($\sqrt{_{C}}=c$). A irradiação de uma amostra cristalina mostrou, no espectro de infravermelho, o desaparecimento gradual da ligação da banda olefínica em 1627 cm⁻¹ e mudança para uma coloração rosa de 2 a 3 dias de irradiação. As dimerizações realizadas com o ácido-4-hidroxi-trans-cinâmico 2,10 27 na forma α , com junção das moléculas precursoras na forma cabeça-cauda foram confirmados. O produto foi então caracterizado como ácido 4,4'-diidroxi- α -truxílico 38, ponto de fusão >315°C (dec) [lit.>300(dec)] 44 , espectro de infravermelho (E-2): 3500-2500 ($\sqrt{_{OH}}$), 1694cm⁻¹($\sqrt{_{C}}=0$).

Figura 34. Reação de obtenção do 4,4`-diidroxi-α-truxílico 38

O ácido monomérico 27 foi esterificado e o produto formado foi caracterizado como 4-hidroxi-*trans*-cinamato de metila 37, ponto de fusão

134-138°C[lit.136-137°C] ⁴⁵, espectro de infravermelho (E-3): 3378 (\sqrt{o} -H), 1686 (\sqrt{c} -e), 1634 (\sqrt{c} -e), 1195 cm ⁻¹ (\sqrt{c} -o-c).

Figura 35. Reação de esterificação do ácido 27.

O sinal intenso do espectro de RMN ¹H (E-4) com deslocamento químico em 4,24 ppm foi atribuído aos prótons metílicos do agrupamento éster. Os prótons olefínicos H₇ e H₈ apresentaram respectivamente, deslocamentos químicos de 7,57 ppm e 6,36 ppm. As demais atribuições foram feitas de maneira similar às do ácido cinâmico 29.

Tabela 3. Deslocamentos químicos de RMN ¹H (CDCl₃) de 37 (E-4).

| Hidrogênio | Deslocamento Químico (ppm) |
|---------------------------------------|----------------------------|
| CH ₃ -metoxila | 4,24 (3H, s) |
| H ₈ -olefinico | 6,36 (1H, d, J= 15,98 Hz) |
| H ₃ e H ₅ -anel | 6,82 (2H, d, J= 8,60 Hz) |
| H ₂ e H ₆ -anel | 7,52 (2H, d, J= 8,63 Hz) |
| H ₇ -olefinico | 7,57 (1H, d, J= 16,00 Hz) |

O ácido 4,4'-diidroxi- α -truxílico 38 para melhor purificação e caracterização, foi posteriormente esterificado com metanol e ácido sulfúrico para obtenção do éster dimérico 39. Cristais brancos com rendimento de 81% foram obtidos e caracterizados como 4,4'-diidroxi- α -truxilato de dimetila 39, com ponto de fusão 195°-197°C [lit. 178°-181°C] ⁴⁶, espectro de infravermelho (E-5): 3528 ($\sqrt{O-H hidroxila anel}$), 1718 ($\sqrt{c}=o_{diésteres}$) e 1195 cm ⁻¹ ($\sqrt{c}-o-c_{metoxila}$).

Figura 36. Reação de esterificação do diácido 38.

Tabela 4. Deslocamentos químicos de RMN ¹H (CDCl₃) de 39 (E-6)

| Hidrogênio | Deslocamento Químico (ppm) |
|--|--|
| CH ₃ -metoxila | 3,38 (3H, s) |
| H ₈ e H ₈ '-ciclobutano | 3,68 (2H, dd, J ₁ =3,40 Hz J ₂ =2,23Hz) |
| H ₇ e H ₇ '-ciclobutano | 4,34 (2H, dd, J ₁ = 3,38 Hz J ₂ =2,12Hz) |
| H ₂ /H ₂ , e H ₆ /H ₆ ,-anel | 6,70 (4H, d, J= 8,60 Hz) |
| H ₃ /H ₃ , e H ₅ /H ₅ ,-anel | 7,10 (4H, d, J= 8,62 Hz) |
| HO-fenol | 9,32 (1H, s) |

O deslocamento químico em 3,30 ppm do espectro de RMN ¹H (E-6) foi atribuído ao metanol residual presente na amostra, provavelmente da reação de esterificação do ácido 38. O sinal observado em 3,38 ppm foi correlacionado aos grupos metoxila do diéster. Na análise da estrutura do éster 39 verifica-se que os anéis aromáticos exercem um efeito de proteção nos hidrogênios que estão sob sua influência. Os efeitos de proteção exercidos pelos anéis aromáticos em H₈ e H₈, são maiores que os efeitos dos grupos carbometoxila em H₇ e H₇. Com base nestes argumentos e na análise do espectro bidimensional (E-7a), o deslocamento químico de 3,80 ppm foi correlacionado aos prótons H₈ e H₈, e o de 4,20 ppm aos prótons H₇ e H₇. A presença de um grupo hidroxila no carbono 4 do anel aromático provoca um efeito de desproteção nos H₃/H₃, e H₅/H₅, sendo a eles atribuídos os sinais em 7,10 ppm, e aos H₂/H₂, e H₆/H₆, os sinais em 6,70 ppm. Um sinal característico de grupo fenólico foi observado em 9,32 ppm.

4.1.7.Diol - α -truxílico 40

Três tentativas de redução do éster 4,4'-diidroxi-α-truxilato de metila 39, com LiAlH₄ em THF e em 1,2-dietoxietano, foram realizadas com o objetivo de se obter o álcool dimérico 4,4'-diidroxi-α-truxílico-9,9'diol 40, seguindo o procedimento da literatura ^{26,38}. Placas de cromatografía em camada delgada foram feitas com as frações de extração obtidas dos produtos das reações, mas não mostraram nenhuma mancha que indicasse com clareza a formação do álcool. A presença dos grupos hidroxilas dos anéis benzênicos pode ter interferido na redução das carbometoxilas do anel ciclobutânico.

Figura 37. Reação de redução do éster dimérico.

4.1.8. Ácido trans-2-furilacrílico 33

Resultados satisfatórios de fotodimerização também foram obtidos com o ácido-2-*trans*-furilacrílico *33*, ponto de fusão 141°C[lit.141,2-145,2°C] ⁴⁷, espectro de infravermelho (E-22): 3500-2500 ($\sqrt{}_{OH}$), 1702 ($\sqrt{}_{C}$ =o) e 1624 cm⁻¹ ($\sqrt{}_{C}$ =c). O aumento da intensidade de irradiação, pela troca da lâmpada de 125W por outra de 400W, diminuiu o tempo de reação, mas a quantidade excessiva do material adicionada ao erlenmeyer (1,4g) formou uma camada superior dimerizada que retardou a dimerização do material que permaneceu recoberto.

O ácido monomérico *trans*-2-furilacrílico *33* foi posteriormente esterificado e o produto formado (óleo alaranjado) foi caracterizado como 2-*trans*-furilacrilato de metila *50*, espectro de infravermelho (E-24): 2951 ($\sqrt{\text{CH}3}$), 1717 ($\sqrt{\text{c}}$ =o), 1641 ($\sqrt{\text{c}}$ =c) e 1212 cm⁻¹ ($\sqrt{\text{c}}$ -o-c).

Figura 38. Reação de esterificação do ácido 33

O singleto em 3,75 ppm do espectro de RMN ¹H (E-25) foi atribuído ao grupo metoxila do éster formado. Os deslocamentos químicos em 6,29 ppm (dupleto) e 7,41 ppm foram correlacionados respectivamente aos H₇ e H₆ olefínicos uma vez que o carbono 6, como nos casos anteriores, possue menor densidade eletrônica que o carbono 7.

Tabela 5. Deslocamentos químicos de RMN ¹H (CDCl₃) de 50 (E-25)

| Hidrogênio | Deslocamento Químico (ppm) |
|-----------------------------|--|
| CH ₃ -metoxila | 3,75 (3H, s) |
| H ₇ -insaturação | 6,29 (1H, d, J= 15,76 Hz) |
| H ₄ -anel | 6,44 (1H, dd, J ₁ =3,42 Hz, J ₂ = 1,83 Hz) |
| H ₃ -anel | 6,58 (1H, d, J= 3,34 Hz) |
| H ₆ -insaturação | 7,41 (1H, d, J= 15,78 Hz) |
| H ₅ -anel | 7,45 (1H, d, J= 1,65 Hz) |

Foi atribuído ao H_4 o sinal em 6,44 ppm (duplo dubleto), devido à presença de outros dois hidrogênios vizinhos e o sinal em 7,45 ppm, foi correlacionado a H_5 , que sofre um efeito de desproteção maior que H_3 em 6,58 ppm 39,40 , pois está mais próximo do heteroátomo.

A literatura relata a obtenção do produto β-truxínico e polímeros nas dimerizações realizadas com o ácido *trans*-2-furilacrílico *33* ^{47,48}. O composto obtido dimérico em nossos experimentos confirmou a junção das duas moléculas precursoras na forma cabeça-cabeça ⁴⁷, de acordo com as informações espectroscópicas obtidas através do éster dimetílico *52*.

Figura 39. Reação de fotodimerização do ácido trans-2-furilacrílico 33

O ácido β-truxínico ⁴⁸ *51* foi posteriormente esterificado com metanol e ácido sulfúrico para obtenção do éster dimérico. O resíduo escuro obtido foi purificado por cromatografía em coluna e o produto principal isolado foi caracterizado como um éster β-truxínico *52*, pelos espectros de infravermelho (E-27): 2951 ($\sqrt{_{CH3}}$), 1740 ($\sqrt{_{C=0}}$), 1209 cm⁻¹ ($\sqrt{_{C-0-c}}$), e RMN ¹H (E-28).

Figura 40. Reação de esterificação do diácido 51.

52

Tabela 6. Deslocamentos químicos de RMN ¹H (CDCl₃) de 52 (E-28).

| Hidrogênio | Deslocamento Químico (ppm) |
|---|---|
| CH ₃ -metoxila | 3,73 (3H, s) |
| H ₇ e H ₇ ,-ciclobutano | 3,87 (2H, dd, J ₁ =3,75 Hz, J ₂ =2,23 Hz) |
| H ₆ e H ₆ '-ciclobutano | 4,24 (2H, dd, J ₁ =3,81 Hz J ₂ =2,18 Hz) |
| H ₃ /H ₃ ,-furano | 5,94 (2H, d, J=3,28 Hz) |
| H ₄ /H ₄ ,-furano | 6,20 (2H, dd, J ₁ =3,24 Hz, J ₂ =1,88 Hz) |
| H ₅ /H ₅ ,-furano | 7,22 (2H, dd, J ₁ =1,84 Hz, J ₂ =0,80 Hz) |

O deslocamento químico do espectro de RMN ¹H (E-28) em 3,73 ppm (singleto) foi atribuído aos grupos metoxilas do diéster. A análise da estrutura mostra que os grupos furilas exercem um efeito de proteção maior nos hidrogênios H₇ e H₇, pois estão do mesmo lado da molécula. O efeito exercido é menor quando os grupos carbometoxilas atuam sobre os prótons H₆ e H₆. Com base nestes argumentos, e da análise do espectro bidimensional, atribuímos o deslocamento químico de 3,87 ppm (duplo dubleto) foi correlacionado aos prótons H₇ e H₇, e o de 4,24 ppm (duplo dubleto) aos prótons H₆ e H₆, ^{39,40}. O sinal em 6,20 ppm (duplo dubleto) foi atribuído aos prótons H₄ e H₄, dos anéis furilas, pois além acoplarem respectivamente os H₃ e H₃, e os H₅ e H₅, eles estão mais protegidos por estarem mais afastados ao contrário dos H₅ e H₅, próximos ao heteroátomo e, portanto, mais desprotegidos. A esses hidrogênios foi atribuído o sinal em 7,22 ppm (duplo dubleto). Finalmente, o deslocamento químico em 5,94 ppm (um dubleto) foi atribuído aos H₃ e H₃, ^{39,40}.

4.1.9. Diol β -truxínico 53

A purificação do ácido *trans*-2-furilacrílico *33* exigiu diversos tratamentos com solventes, pois o material parecia dimerizar e polimerizar com certa facilidade na presença de luz, e muita impureza escura precisou ser removida por recristalizações sucessivas do material bruto. Novas quantidades do ácido *33* foram submetidas à irradiação e, em seguida, à esterificação. Posteriormente, uma tentativa de redução com LiAlH₄ foi feita em THF para obter o diol dimérico β-truxínico *53*.

Figura 41: Rota sintética proposta para obtenção do diol dimérico 53

Placas de cromatografia em camada delgada foram feitas com as frações de extração obtidas da reação de redução, mas não mostraram nenhuma mancha que indicasse com clareza o álcool formado.

4.2. Análise de RMN ¹³C dos compostos sintetizados.

Foram realizadas análises de RMN 13 C das amostras do éster 2-*trans*-furilacrilato de metila 50 e dos diésteres α -truxílicos e β -truxínicos sintetizados.

Os deslocamentos químicos obtidos para as substâncias foram correlacionados com os respectivos carbonos através de tabelas de

correlações, dos efeitos de grupos substituintes, dos espectros de DEPT 90 e 135 e de mapas de contorno HSQC.

4.2.1. Éster 4,4`-diidroxi-α-truxilato de metila 39

As atribuições dos sinais do espectro de RMN ¹³C de *39* (E-7) foram feitas através de análises dos efeitos de proteção e desproteção de grupos substituintes e efeitos espaciais ³⁹⁻⁴¹.

O deslocamento químico de 171,97 ppm foi atribuído aos carbonos 9 e 9` correspondente aos grupos carbonila do diéster. Para os carbonos 10 e 10' análise do espectro bidimensional (E-7a) foi conclusiva para sua correlação com deslocamento químico de 51,12 ppm, já que o sinal encontrava-se sobreposto pelo sinal do solvente DMSO. Os carbonos 4 e 4` ligados diretamente ao átomo de oxigênio fenólico estão muito desprotegidos. Considerando que estes carbonos não estão ligados a átomos de hidrogênio e, portanto, não aparecem nos espectros bidimensionais (E-7a), o valor de 156,19 ppm foi atribuído a C-4 e C-4'.

Os sinais restantes, 40,52 e 46,35 ppm foram correlacionados aos carbonos 7 e 7' e 8 e 8', respectivamente. O efeito de proteção α dos dois grupos (fenólicos e carbometoxilas) são semelhantes, mas o efeito de proteção

 β dos anéis fenólicos é menor que o dos grupos carbometoxilas tornando os carbonos 8 e 8` mais desprotegidos ³⁹⁻⁴¹.

Tabela 7. Atribuições dos carbonos do éster 39 (E-7)

| Carbono | Deslocamento |
|----------|---------------|
| | Químico (ppm) |
| 1 e 1` | 128,85 |
| 2 e 2` | 128,50 |
| 3 e 3` | 114,94 |
| 4 e 4` | 156,19 |
| 5 e 5` | 114,94 |
| 6 e 6` | 128,50 |
| 7 e 7` | 40,52 |
| 8 e 8` | 46,35 |
| 9 e 9` | 171,97 |
| 10 e 10` | 51,12 |

4.2.2. <u>trans</u>-2-furilacrilato de metila 50

Dois dos sinais obtidos no espectro de RMN ¹³C (E-26) do éster *50* foram atribuídos ao grupo carbonila (167,42 ppm) e ao grupo metoxila (51,56 ppm), que apresentam absorções típicas nestas regiões ^{39,40}.

As absorções características dos carbonos aromáticos do anel furânico foram confirmadas pela análise de efeitos de proteção e desproteção do heteroátomo presente e análises de espectros bidimensionais (E-32).

50

Tabela 8. Atribuições dos carbonos do éster 50 (E-26)

| Carbono | Deslocamento Químico (ppm) |
|---------|----------------------------|
| | |
| 2 | 150,76 |
| 3 | 114,76 |
| 4 | 112,19 |
| 5 | 144,67 |
| 6 | 131,13 |
| 7 | 115,31 |
| 8 | 167,42 |
| 9 | 51,55 |

O carbono 2 (150,77 ppm) está ligado diretamente ao oxigênio e a uma insaturação conjugada com um grupo éster, o que o torna mais desprotegido que o carbono 5 (144,67 ppm). Os carbonos 3 (114,76 ppm) e 4 (112,19 ppm) apresentam deslocamentos químicos de valores menores, pois estão mais distantes do átomo de oxigênio e insaturações que podem desprotegê-los. O carbono 6 (131,13 ppm), que compõe a porção olefínica, sofre um efeito de desproteção do grupo furano maior que o efeito produzido pelo grupo éster no carbono 7 (115,31 ppm) ^{39,40}.

4.2.3. Éster β-truxínico 52

As atribuições dos oito sinais no espectro de RMN ¹³C (E-29) do diéster *52* foram feitas de maneira análoga ao diéster *39*, analisando os efeitos espaciais, de ressonância e indutivos ³⁹⁻⁴¹. O deslocamento químico de 172,30 ppm foi atribuído aos carbonos 8/8', por ser um sinal característico da região de grupo carbonila, já os carbonos 9/9' apresentaram um deslocamento químico de 52,19 ppm, típico de grupo metoxila. Para os carbonos 2/2' foi atribuído o deslocamento químico de 152,53 ppm, pois é o único carbono do grupo furila que não possui hidrogênio ligado e, portanto, não aparece nos espectros DEPT 90 e 135 (E-31) ³⁹. Os carbonos 3/3', 4/4'e 5/5' do anel do furano apresentaram, respectivamente deslocamentos químicos de 106,96 ppm, 110,20 ppm e 144,67 ppm. Isto foi confirmado pelas análises do espectro bidimensional (E-33). Os carbonos 5/5', por estarem ligados diretamente ao oxigênio, têm uma densidade eletrônica menor e, portanto, são os mais desprotegidos ^{40,41}.

Os efeitos de proteção α pelos grupos furila e carbometoxilas são similares. No entanto, os grupos furila produzem um efeito de proteção β maior nos carbonos 7/7 em relação aos mesmos efeitos produzidos pelos grupos carbometoxilas nos carbonos 6 e 6°. Com base nestas considerações os deslocamentos químicos 38,45 ppm e 43,05 ppm, foram atribuídos respectivamente aos carbonos 7/7 e 6/6°.

Tabela 9. Atribuições dos carbonos do éster 52 (E-29)

| Deslocamento |
|---------------|
| Químico (ppm) |
| 152,53 |
| 106,96 |
| 110,20 |
| 141,73 |
| 43,05 |
| 38,45 |
| 172,30 |
| 52,19 |
| |

4.3. Análises espectroscópicas das cumarinas e de seus dímeros

4.3.1. Cumarinas

As cumarinas diponíveis e recristalizadas, 7-metilcumarina 34, 3-ácido carboxílico-cumarina 35 e 7-metoxicumarina 36 foram expostas à radiação da lâmpada de mercúrio de 400W. O progresso da dimerização foi acompanhado pelo surgimento da banda carbonílica do dímero, regressão gradual da banda carbonílica monomérica e das bandas olefínicas, além de análises comparativas em placas cromatográficas de camada delgada.

As atribuições dos sinais dos espectros de RMN ¹H e RMN ¹³C das cumarinas, dos dímeros e dos ésteres metílicos foram feitas através de análises dos efeitos espaciais e de proteção e desproteção do grupo hidroxila do anel benzênico ³⁹⁻⁴¹. Os espectros das cumarinas e de seus dímeros foram obtidos na fase final da redação da dissertação e sua análise foi parcial.

4.3.2. 7-metoxicumarina 36

A 7-metoxicumarina 36 disponível no laboratório apresentou as seguintes informações nos espectros de infravermelho (E-19): 1706 (\sqrt{c} =0), 1613 (\sqrt{c} =c); RMN 1 H (CDCl₃), E-40: 3,86(3H, s, CH₃O-metoxila); RMN 13 C (CDCl₃), (E-42): 162,78 (C-2) 161,11 (C-9) e 155,85 (C-7), DEPT 90 e 135 de 36 (E-44).

36

Figura 42. Estrutura da 7- metoxicumarina 36.

4.3.3. Dímero da 7-metoxicumarina 49

O desaparecimento gradual da banda carbonílica da cumarina *36*, submetida à irradiação, em 1706 cm⁻¹, e o surgimento de uma banda em 1751 cm⁻¹ (E-16, E-17, E-18), além dos resultados da cromatografia em placa, evidenciaram a formação do dímero da 7-metoxicumarina *49*. A análise parcial dos dados espectroscópicos indicou a obtenção de um dímero do tipo cabeça-cauda, confirmando resultados anteriores ^{49,50}: espectro de infravermelho de *49* (E-21): 1746 (√c=o lactona), 1623 (√c=c anel aromático); RMN ¹H (CDCl₃), E-41: 3,71 (6H, s, 2xmetoxila), 4,13-4,17(2H, *m*) H-2/H-4 e 4,24-4,27 ppm (2H, *m*) H-1/H-3 (anel ciclobutânico); RMN ¹³C (CDCl₃), E-43: 36,9 C-2/C-4 e 40,27 ppm C-1/C-3 (anel ciclobutânico), 55,42 ppm (metoxila); DEPT 90 e 135 (E-45): 108,75 (C-10 e 10'), 151,41 (C-7 e 7'), 160,46 (C-9 e 9') e 164,14 (C-2' e 2'').

Figura 43. Estrutura do dímero da 7-metoxicumarina 49.

4.3.4.Dímero da 3-ácido carboxílico-cumarina 56

Na dimerização da 3-ácido carboxílico-cumarina 35, disponível no laboratório, o desaparecimento da banda carbonílica em 1744 cm⁻¹ e o surgimento de outra em 1756 cm⁻¹(E-19, E-20, E-21), além da diminuição das intensidades das bandas olefínicas em 1617 e 1567 cm⁻¹, com leve deslocamento desta última para 1587 cm⁻¹, indicaram que a reação evoluiu, mas por serem ácidos não foi possível visualização de manchas diferenciadas em cromatografía de camada delgada. Isso foi confirmado com a obtenção dos ésteres metílicos do monômero e do dímero.

O espectro de infravermelho de 35 E-16, apresentou bandas em 1744 ($\sqrt{\text{c}=\text{o}}_{\text{lactona}}$), 1683 ($\sqrt{\text{c}=\text{o}}_{\text{ácido carboxílico}}$), 1613 e 1566 cm⁻¹ ($\sqrt{\text{c}=\text{c}}_{\text{aromáticos}}$), enquanto que o espectro (E-18) da cumarina dimérica diácida 56 obtida mostrou bandas em 1756 ($\sqrt{\text{c}=\text{o}_{\text{lactona}}}$), 1683 cm⁻¹ ($\sqrt{\text{c}=\text{o}_{\text{ácido carboxílico}}}$).

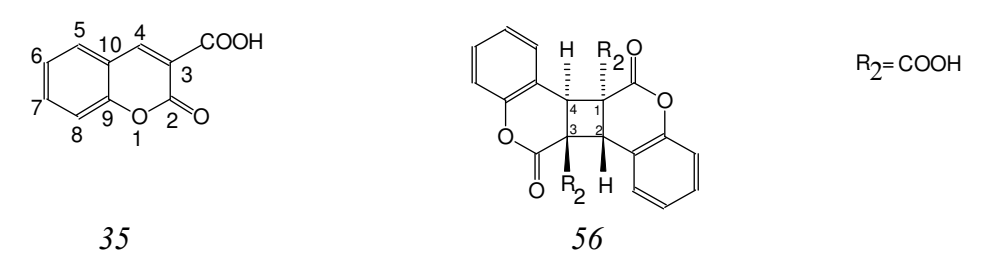


Figura 44. Estrutura da 3-ácido carboxílico-cumarina 35 e do dímero 56.

A literatura cita uma tentativa de dimerização em solução para o 3-ácido carboxílico cumarina 35. Os resultados obtidos por Kawata e colaboradores ⁵⁰ mostraram a formação de um polímero descarboxilado e subprodutos, mas em nenhuma das reações houve a formação de anel ciclobutânico.

No estado sólido os resultados foram diferentes. A confirmação da obtenção do dímero *56* foi possível realizando análises, ainda que parciais, dos espectros de RMN ¹H e RMN ¹³C dos ésteres metílicos do monômero e do dímero da cumarina, que serão comentados a seguir.

4.3.5.Éster metílico da 3-ácido carboxílico-cumarina 55

O ácido monomérico 35 disponível foi esterificado com diazometano e o produto formado foi caracterizado como éster metílico 55 pelos espectro de infravermelho (E-36): 1746 ($\sqrt{\text{c}}=\text{o}_{\text{lactona}}$), 1699 cm⁻¹ ($\sqrt{\text{c}}=\text{o}_{\text{éster}}$) dos grupo aromáticos, 1615 ($\sqrt{\text{c}}=\text{c}_{\text{anel benzênico}}$), 1248 cm⁻¹($\sqrt{\text{CH3COOR}}$ éster alifático) e RMN ¹H de (CDCl₃) E-46: 3,96 (3H, s, CH₃O-metoxila).

Figura 45. Obtenção do éster metílico da 3-ácido carboxílico-cumarina 55.

4.3.6. Obtenção do diéster metílico 54 do dímero da 3-ácido carboxílico-cumarina 56.

A cumarina dimérica diácida *56*, obtida por fotodimerização, foi esterificada com diazometano para obtenção do éster dimérico *54* correspondente. O material cristalino obtido foi caracterizado como um dímero do tipo cabeça-cauda pela análise parcial das informações espectroscópicas. Espectro de infravermelho (E-37): 1759 ($\sqrt{c}=o_{lactona}$), 1721 ($\sqrt{c}=o_{\acute{ester}}$), 1220 cm⁻¹ ($\sqrt{c}=o_{\acute{ester}}$), 1220 cm⁻¹ ($\sqrt{c}=o_{\acute{ester}}$). Espectro RMN ¹H (CDCl₃) (E-47): 3,60 (6H, s, 2xCH₃O-metoxila), 4,93 (2H, s, -CH(R)₃, molécula simétrica); RMN ¹³C (CDCl₃) (E-48): 46,64 (C2/C2' e C4/C4' do anel ciclobutânico), 52,65 (C1/C1' e C3/C3' do anel ciclobutânico) e 53,50 ppm ($-COO\underline{C}H_3$).

Figura 46. Reação de esterificação do diácido 56 com diazometano.

5. PARTE EXPERIMENTAL

5.1. Informações gerais

Foram utilizados reagentes e solventes analiticamente puros de diversas marcas e quando foi necessário maior pureza foram feitas destilações ou recristalizações.

As cromatografías em coluna foram feitas utilizando-se sílica gel 0,05-0,20 mm. As cromatografías em camada delgada foram feitas utilizando sílica gel G, GF₂₅₄ Merk A. G. suspensa em água e distribuída em camada de 0,25 mm sobre placas de vidro 5 x 20 cm, 10x 20 cm, usando-se um aparelho Quickfit. Essas cromatografías foram visualizadas com lâmpada sob ultravioleta (254 nm).

Os espectros de absorção na região do Infravermelho foram feitos em pastilhas de KBr ou Nujol em um Espectrômetro-FTIR BOMEM-MB Séries, modelo B-100, resolução 4cm⁻¹ e varredura de 16 scans.

Os espectros de ressonância magnética nuclear (RMN 1 H e RMN 13 C) foram obtidos em um instrumento INOVA-500 usando como solvente clorofórmio deuterado e, em alguns casos, DMSO deuterado, à temperatura de 20° C e como referência interna tetrametilsilano (TMS). Os deslocamentos químicos foram registrados em unidades δ (ppm) e as constantes de acoplamento em Hz.

5.2. Síntese do ácido ferúlico 28.

Em um balão foram colocados 2,3 g (15,12 mmol) de ácido malônico e em seguida 12 ml (0,15 mmol) de piridina. Após a dissolução completa do

ácido malônico, adicionou-se 2,0 g (19,12 mmol) de 4-hidroxi-3metoxibenzaldeído (vanilina, 41) até completa dissolução. Em seguida, 0,6 ml (0,06 mmol) de piperidina foram adicionados à solução resultante e mantevese a agitação por mais 5 minutos. O sistema foi fechado e deixado em repouso à temperatura ambiente, e na ausência de luz, durante 7 dias. Após término da reação, acompanhada por CCD, fez-se a acidificação da mistura reacional, em banho de gelo, sob constante agitação até que o pH se tornasse ácido e ocorresse a precipitação do ácido cinâmico. Deixou-se a solução em repouso à baixa temperatura, por um dia, para que todo o ácido obtido fosse precipitado. Realizou-se a recuperação do precipitado por filtração a vácuo, e o material obtido foi lavado com 25 ml de HCl 1:1 e depois com 25 ml de água destilada. O precipitado obtido foi secado ao ar e depois guardado em frasco de vidro escuro com sílica. Ponto de fusão de 168-171°C [Literatura 174,5-176,5°C]⁴², espectro de infravermelho (E-8): 3500-3100 (\sqrt{o} H), 1690 (\sqrt{c} Ho), 1619 cm⁻¹ $(\sqrt{c}=c)$.

5.2.1 Síntese do 4-hidroxi-3- metoxi- <u>trans</u>-cinamato de metila 42.

Em um balão de duas bocas foram adicionados, sob agitação, 12 ml de metanol e 0,23g (1,51 mmol) de ácido 4-hidroxi-3-metoxi-*trans*-cinâmico (ácido ferúlico, 28) até completa dissolução. Lentamente 3 ml de uma solução metanólica de ácido sulfúrico foram adicionadas ao balão. A mistura foi mantida em refluxo por um período de 4 horas, em banho de óleo a 90°C, sob

constante agitação, e a reação foi acompanhada por cromatografia em camada delgada.

Após término da reação foi feita a evaporação a vácuo do metanol, o material obtido foi dissolvido em cloreto de metileno e transferido para um funil de separação. Adicionou-se em seguida 30 ml de água e a fase orgânica foi separada, extraída três vezes com 30 ml de solução de bicarbonato de sódio a 20% e secada com sulfato de sódio. Após a filtração, a solução final foi evaporada em um evaporador rotativo e o resíduo purificado por cromatografia em coluna foi caracterizado como 4-hidroxi-3-metoxi-*trans*-cinamato de metila 42, espectro de infravermelho (E-9) : 3403 (\sqrt{OH}), 1700 (\sqrt{C} =0), 1635 cm⁻¹ (\sqrt{C} =c).

5.2.2. Síntese do ácido 4-hidroxi-3-etoxi-trans-cinâmico 29.

O ácido *29* foi sintetizado pelo mesmo procedimento utilizado para o ácido ferúlico *28* usando-se 2,3 g de ácido malônico (21,99 mmol), 25 ml (0,15 mol) de piridina, 1,7 g (10,2 mmol) de etilvanilina e 0,5 ml (0,05 mmol) de piperidina. O precipitado obtido foi secado ao ar e depois guardado em frasco de vidro escuro com sílica. Após secagem o ácido obtido foi exposto à irradiação. Ponto de fusão de 147-151°C; espectro de infravermelho (E-10): 3540 (\sqrt{O}), 1680 (\sqrt{C}), 1623 cm⁻¹ (\sqrt{C}). RMN de ¹H (CDCl₃) (E-34): 0,8 (3H, t, J=6,96 Hz) CH₃-etoxila; 3,56 (2H, q, J=6,96 Hz) CH₂-etoxila; 5,78 (1H, d, J=15,75 Hz) H₈-insaturação; 6,28 (1H, d, J=6,93 Hz) H₅-anel; 6,45

(1H, dd, J_1 =6,93 Hz/ J_2 =1,83 Hz) H₆-anel; 6,51 (1H, d, J=1,83 Hz) H₂-anel; 6,93 (1H, d, J=15,75 Hz) H₇-insaturação; 8,80-8,60 (1H, s) OH-aromático.

5.2.3. Síntese do 4-hidroxi-3- etoxi- trans-cinamato de metila 43.

O éster 43 foi preparado pelo mesmo procedimento descrito anteriormente para o éster 42 utilizando-se 0,5g (3,01 mmol) do ácido etil ferúlico 29 dissolvido em 20 ml de metanol e 10 ml de uma solução metanólica de ácido sulfúrico. O material amorfo branco apresentou ponto de fusão 134-138°C, espectro de infravermelho (E-12) : 3525 (\sqrt{OH}), 1712 (\sqrt{c} =o), 1636 (\sqrt{c} =c olefínico), 1162 cm⁻¹ (\sqrt{c} -o-c). RMN ¹H (CDCl₃) (E-35): 1,67 (3H, t, J=6,96 Hz) CH₃-etoxila; 3,99 (3H, s) CH₃-metoxila; 4,34 (2H, q, J=6,96 Hz) CH₂-etoxila; 6,47 (1H, d, J=15,75 Hz) H₈-insaturação; 7,12 (1H, d, J=1,83 Hz) H₅-anel; 7,23 (1H, dd, J₁=6,90 Hz /J₂=1,83 Hz) H₆-anel; 7,70 (1H, d, J=6,90 Hz) H₂-anel; 7,81 (1H, d, J=15,75 Hz) H₇-insaturação.

5.2.4. Síntese do ácido 4-metoxi-trans-cinâmico 30

Em um balão de duas bocas conectado a um condensador com um tubo de cloreto de cálcio, em banho de óleo, foram adicionados 2,80 g (26,77 mmol) de ácido malônico e 12 ml (0,15 mmol) de piridina até completa dissolução. Em seguida adicionou-se 2,00 g (11,24 mmol) de *para*-anisaldeído

e 0,6 ml (0,06 mmol) de piperidina e a mistura foi mantida sob refluxo à temperatura de 110 °C. Depois de 3 horas, o término da reação foi confirmado por realização de placas de CCD. Em seguida realizou-se a acidificação do meio reacional com ácido clorídrico 1:1 em banho de gelo, sob agitação, até a precipitação total do ácido 4-metoxi-*trans*-cinâmico ocorresse. Recuperou-se o precipitado por filtração a vácuo, e o material obtido foi lavado com 25 ml de HCl 1:1 e depois com 25 ml de água destilada. O precipitado obtido foi secado ao ar e depois guardado em frasco de vidro escuro com sílica. Ponto de fusão: $171^{\circ}\text{C}-174^{\circ}\text{C}$ [literatura $169^{\circ}\text{C}-170^{\circ}\text{C}$]⁴³ ; espectro de infravermelho (E-14): 3500-2500 ($\sqrt[]{O_{\text{CH}}}$),1686 ($\sqrt[]{c}=0$) e 1623 cm⁻¹($\sqrt[]{c}=c$).

30

5.2.5. Síntese do 4-metoxi-trans-cinamato de metila 48

O éster 48 foi preparado pelo mesmo procedimento empregado para o éster 42, descrito anteriormente, utilizando-se 0,50 g (2,8 mmol) do ácido 30 dissolvido em 20 ml de metanol e 10 ml de uma solução metanólica de ácido sulfúrico. O material amorfo branco obtido apresentou ponto de fusão 86,5-88,5°C [literatura 87 -89°C]⁴³ e espectro de infravermelho (E-15) 1717 $(\sqrt{c}=o)$, 1637 $(\sqrt{c}=c)$, 1256 $(\sqrt{Ar}-o-r)$, 1170 cm⁻¹ $(\sqrt{c}-o-c)$.

5.2.6. Síntese do ácido 4-hidroxi-3,5-dimetoxi-trans-cinâmico 31

O ácido 30 foi obtido pelo mesmo procedimento usado para o ácido ferúlico 28 usando-se 2,3 g de ácido malônico (21,98 mmol), 12 ml de piridina (0,149 mmol), 2,0 g de seringaldeído (10,10 mmol) e 0,6 ml de piperidina (0,06 mmol). O precipitado branco cristalino obtido foi secado ao ar e depois guardado em frasco de vidro escuro com sílica. Espectro de infravermelho $3386 \, (\sqrt[4]{-OH \, fenol})$, $1666 \, (\sqrt[4]{c}=o)$, $1621 \, (\sqrt[4]{c}=c)$, $1260 \, (\sqrt[4]{Ar-O-R})$.

5.3. Fotodimerização dos ácidos trans-cinâmicos

Cerca de 200mg do ácido 4-hidroxi-3-metoxi-*trans*-cinâmico 28 recristalizado foram irradiados em um recipiente Pyrex, com lâmpada de mercúrio 125W, em câmara com pequena circulação de ar. A fotoreação foi acompanhada por espectroscopia de infravermelho.

O mesmo procedimento foi adotado para o ácido 4-hidroxi-3-etoxitrans-cinâmico 29, 2-hidroxi-trans-cinâmico, 4-metoxi-trans-cinâmico 30, 3,5-dimetoxi-4-hidroxi-trans-cinâmico 31, 3,5-dimetoxi-trans-cinâmico 32.

5.4. Síntese do 4-hidroxi-trans-cinamato de metila 37

O éster 37 foi preparado pelo mesmo procedimento empregado para o éster 42 usando-se 700 mg (4,27 mmol) do ácido 4-hidroxi-*trans*-cinâmico, 32 ml de metanol e 10 ml de solução metanólica de ácido sulfúrico. Após a filtração, a solução final foi evaporada em um evaporador rotativo e os cristais bem definidos foram obtidos com 90 % de rendimento e apresentaram ponto de fusão 134-138°C[lit.136-137°C] ⁴⁵; espectro de infravermelho (E-3): 3378 ($\sqrt{O_{O-H}}$), 1686 (\sqrt{C} =0), 1634 (\sqrt{C} =c), 1195 cm ⁻¹ (\sqrt{C} -0-c); RMN ¹H (CDCl₃) de 37 (E-4): 3,75 (3H, s) CH₃-metoxila; 6,36 (1H, d, J= 15,98 Hz) H₈-insaturação; 6,82 (2H, d, J= 8,60 Hz) H₃ e H₅-anel; 7,52 (2H, d, J= 8,63 Hz) H₂ e H₆-anel; 7,57 (1H, d, J= 16,00 Hz) H₇-insaturação.

5.4.1. Fotodimerização do ácido 4-hidroxi-trans-cinâmico 27.

Cerca de 200 mg do ácido 4-hidroxi-*trans*-cinâmico espectro de infravermelho (E-1): 3500-3100 (\sqrt{OH}), 1671($\sqrt{C=0}$), 1627 cm⁻¹($\sqrt{C=0}$) 28 recristalizado foram irradiados em um recipiente Pyrex, com lâmpada de mercúrio de 125W, em câmara com pequena circulação de ar. A fotoreação acompanhada por espectroscopia de infravermelho revelou a formação do dímero em 96 horas de reação de reação. Posteriormente aumentou-se a potência da lâmpada para 400 W com quantidades superiores de material de

600 mg e 1,2 g. O aumento da intensidade de irradiação diminuiu o tempo de reação para 48 horas e 120 horas, respectivamente.

5.4.2. Síntese do 4,4`-diidroxi-α-truxilato de dimetila 39.

Em um balão de duas bocas equipado com condensador com tubo de cloreto de cálcio, foram adicionados 200 mg (0,71 mmol) do diácido 4,4'diidroxi-α-truxílico 38 e 10 ml de metanol sob agitação e aquecimento em refluxo à 95°C, em banho de óleo. Após dissolução completa do material, 2 ml de uma solução metanólica de ácido sulfúrico foram adicionadas lentamente ao balão e reação mantida por um período de 3 horas. Finalizada a reação, após confirmação por cromatografia em camada delgada, o conteúdo do balão foi transferido para um erlenmeyer, fechado e deixado em repouso na geladeira por um dia para que todo diéster fosse precipitado. Terminada a precipitação, o material foi filtrado em sulfato de sódio e lavado com metanol gelado por várias vezes. A solução final foi evaporada em um evaporador rotativo e cristais brancos bem definidos foram obtidos com rendimento de 75%. Ponto de fusão 195-197°C [lit. 178-181°C]⁴⁶, espectro de infravermelho (E-5): 3528 ($\sqrt{O-H \text{ hidroxila anel}}$), 1718 ($\sqrt{c}=O \text{ diésteres}$) e 1195 cm ⁻¹ ($\sqrt{c}-O-C \text{ metoxila}$); RMN ¹H (CDCl₃) de 39 (E-6): 3,38 (6H, s) CH₃-metoxila; 3,80 (2H, dd, $J_1=3,40 \text{ Hz } J_2=2,23 \text{ Hz}) H_8 \text{ e } H_8$ -ciclobutano; 4,20 (2H, dd, $J_1=3,38 J_2=2,12$ Hz) H_7 e $H_{7'}$ -ciclobutano; 6,70 (4H, d, J= 8,60 Hz) $H_2/H_{2'}$ e $H_6/H_{6'}$ -anel; 7,10 $(4H, d, J= 8.62 Hz) H_3/H_3$ e H_5/H_5 anel, 9.32 (1H, s) HO-fenol. RMN de ¹³C (CDCl₃) de 39 (E-7): 128,85 C-1 e C-1'; 128,50 C-2 e C-2; 114,94 C-3 e C-3'; 156,19 C-4 e C-4'; 114,94 C-5 e C-5'; 128,50 C-6 e C-6'; 40,52 C-7 e C-7'; 46,35 C-8 e C-8', 171,97 C-9 e C-9'; 51,12 ppm C-10 e C-10'.

5.4.3. Redução do 4,4`-diidroxi-α-truxilato de dimetila 39

Em um balão de duas bocas, conectado a um condensador de refluxo equipado com um tubo de cloreto de cálcio e agitação magnética, foram adicionados 120 mg (3,16 mmol) de hidreto de lítio e alumínio e de tetrahidrofurano. Através de um funil de adição, 120 mg (0,39 mmol) de 4,4'-diidroxi-α-truxilato de metila 39, dissolvidos em 20 ml de tetraidrofurano foram transferidos lentamente para o balão de reação. A mistura reacional foi mantida em refluxo por um período de 3 horas a uma temperatura média de 70°C. Decorrido o tempo de reação, o excesso de hidreto de lítio de alumínio foi destruído com éter etílico e posteriormente com água destilada. A fase etérea foi separada, secada com sulfato de cálcio, filtrada e evaporada. O resíduo obtido por evaporação do solvente forneceu manchas em cromatografia de camada delgada que indicaram mistura de produtos.

5.5. Síntese do éster <u>trans</u>-2-furilacrilato de metila 50

O éster 50 foi preparado pelo mesmo procedimento empregado para o éster 42 utilizando-se 1,00 g (7,25 mmol) do ácido trans-2-furilacrílico 33 disponível no laboratório, recristalizado, dissolvidos em 40 ml de metanol e 10 ml de solução metanólica de ácido sulfúrico. O óleo levemente alaranjado obtido foi posteriormente purificado em coluna de sílica. Espectro de

infravermelho (E-24): 2951 ($\sqrt{c_{H3}}$), 1717 ($\sqrt{c_{=0}}$), 1641 ($\sqrt{c_{=c}}$) e 1212 cm⁻¹ ($\sqrt{c_{-0-c}}$). RMN ¹H (CDCl₃) de *50* (E-25): 3,75 (3H, s) CH₃-metoxila; 6,29 (1H, d, J= 15,76 Hz) H₇-olefínico; 6,44 (1H, dd, J₁=3,42 Hz, J₂= 1,83 Hz) H₄-anel; 6,58 (1H, d, J= 3,34 Hz) H₃-anel; 7,41 (1H, d, J= 15,78 Hz) H₆-olefínico; 7,45 (1H, d, J= 1,65 Hz) H₅-anel. RMN ¹³C (CDCl₃) de *50* (E-26): 150,76 C-2; 114,76 C-3; 112,19 C-4; 144,67 C-5; 131,13 C-6; 115,31 C-7; 167,42 C-8; 51,55 C-9.

50

5.5.1. Fotodimerização do ácido <u>trans</u>-2-furilacrílico 33

Amostras com 200 mg e 400mg do ácido trans-2-furilacrílico puro 33 recristalizados, ponto de fusão 141°C[lit.141,2-145,2°] ⁴⁷, espectro de infravermelho (E-22): 3500-2500 ($\sqrt{_{OH}}$), 1702 ($\sqrt{_{c}}$ =0) e 1624 cm⁻¹ ($\sqrt{_{c}}$ =c), foram irradiadas em dois recipiente distintos de Pyrex, com lâmpada de mercúrio de 125W, em câmara com pequena circulação de ar. As foto-reações foram acompanhadas por espectroscopia de infravermelho que revelou a formação do dímero em cerca de 120 horas de reação.

5.5.2. Síntese do diéster β-truxínico 52

O diéster β-truxínico 52 foi preparado da maneira descrita para o diéster α-truxílico 42 dissolvendo-se 200 mg (0,66 mmol) do diácido 50 em 15 ml de metanol e 10 ml de solução metanólica de ácido sulfúrico. O óleo marrom obtido foi posteriormente purificado por cromatografia em coluna. Espectro de

infravermelho (E-27): 2951 ($\sqrt{_{CH3}}$), 1740 ($\sqrt{_{c=0}}$), 1209 cm⁻¹ ($\sqrt{_{c-o-c}}$); RMN ¹H (CDCl₃) de 52 (E-28): 3,73 (3H, s) CH₃-metoxila; 3,87 (2H, dd, J₁=3,75 Hz, J₂=2,23 Hz) H₇ e H₇·-ciclobutano; 4,24 (2H, dd, J₁=3,81 Hz J₂=2,18 Hz) H₆ e H₆·-ciclobutano; 5,94 (2H, d, J=3,28 Hz) H₃/H₃·-furano; 6,20 (2H, dd, J₁=3,24 Hz, J₂=1,88 Hz) H₄/H₄·-furano; 7,22 (2H, dd, J₁=1,84 Hz, J₂=0,80 Hz) H₅/H₅·-furano; RMN ¹³C de 52 (CDCl₃) (E-29): 152,53 C-2 e C-2'; 106,96 C-3 e C-3'; 110,20 C-4 e C-4', 141,73 C-5 e C-5'; 43,05 C-6 e C-6'; 38,45 C-7 e C-7'; 172,30 C-8 e C-8'; 52,19 ppm C-9 e C-9'.

5.5.3. Redução do diéster β-truxínico 52.

Em um balão de duas bocas, conectado a um condensador de refluxo equipado com um tubo de cloreto de cálcio e agitação magnética, foram adicionados 110 mg (2,90 mmol) de hidreto de lítio e alumínio e 20 ml de tetraidrofurano. Através de um funil de adição 30 mg (0,09 mmol) do diéster 52 em 10 ml de tetrahidrofurano foram transferidos lentamente para o balão de reação. A mistura reacional foi mantida em refluxo por um período de 3 horas a uma temperatura média de 80°C. Decorrido o tempo de reação, o excesso de hidreto de lítio de alumínio foi destruído com éter etílico e posteriormente com água destilada. A fase etérea foi separada, secada com sulfato de cálcio, filtrada e evaporada. O resíduo alaranjado obtido por evaporação do solvente forneceu manchas em cromatografia de camada delgada que não foram conclusivas para indicar a presença do diol.

5.6. Fotodimerização da 7-metoxicumarina 36.

Cerca de 500 mg (2,84 mmol) de 7-metoxicumarina 36 comercial, espectro de infravermelho (E-19): 1706 (\sqrt{c} =0), 1613 (\sqrt{c} =c). Espectro RMN 1 H (CDCl₃) (E-40), espectro de RMN 13 C (CDCl₃) (E-42), DEPT 90 e 135 (E-44), espectro bidimensional (E-49), recristalizados em diclorometano-hexano, foram irradiados em um recipiente pyrex, com lâmpada de mercúrio de 125W, em câmara com pequena circulação de ar. A foto-reação acompanhada por espectroscopia de infravermelho revelou a formação do dímero 49 em 70 horas de reação. Análise de infravermelho do dímero 49 (E-21): 1746 (\sqrt{c} =0 lactona), 1623 cm $^{-1}$ (\sqrt{c} =c anel benzênico). Espectro RMN 1 H de 49(CDCl₃) (E-41), espectro de RMN 13 C de 49 (CDCl₃) (E-43), DEPT 90 e 135 de 49 (E-45).

5.7. Fotodimerização do ácido 3-ácido carboxílico-cumarina 35

Cerca de 600 mg do 3-ácido carboxílico-cumarina 35 comercial, recristalizado em diclorometano-hexano, foram irradiados em um recipiente pyrex, com lâmpada de mercúrio de 125W e 400W, em câmara com pequena circulação de ar. A foto-reação acompanhada por espectroscopia de infravermelho revelou a formação de um produto dimérico possível em 240 horas de reação de reação. Espectro de infravermelho de 35 (E-16): 1744 (\sqrt{c} =o \sqrt{c}

5.7.1. Síntese do éster metílico 55 da 3-ácido carboxílico-cumarina 35

Em um erlenmeyer 100 mg (0,48 mol) de 3-ácido carboxílico-cumarina foram dissolvidos em THF-acetona e em seguida, uma solução de diazometano/ éter etílico foi adicionada e a mistura reacional foi mantida em repouso na geladeira. As análises em cromatografía de camada delgada feitas após dois dias de reação confimaram a formação de éster. O solvente e o diazometano em excesso foram evaporados e os cristais brancos obtidos foram colocados em sílica para secagem. Espectro de infravermelho (E-36): 1746 (\sqrt{c} =o $_{lactona}$), 1699 (\sqrt{c} =o $_{éster}$), 1615 (\sqrt{c} =c $_{anel\ benzênico}$), 1248 cm $^{-1}$ (\sqrt{c} H3COOR $_{ester}$) alifático). Espectro RMN 1 H de 55 (CDCl₃) (E-46).

5.7.2. Síntese do diéster metílico 54 do dímero da 3-ácido carboxílico cumarina 35

Em um erlenmeyer 50 mg (0,14 mg) do produto dimérico 56 da 3-ácido carboxílico-cumarina foram dissolvidos em THF sendo adicionada em seguida uma solução de diazometano/éter etílico e a mistura reacional deixada em repouso em geladeira. A realização de análises em cromatografía de camada delgada após dois dias de reação confimaram a formação de éster. O solvente

e o diazometano em excesso foram evaporados e os cristais brancos obtidos foram colocados em sílica para secagem. Espectro de infravermelho (E-37): 1759 ($\sqrt{c}=o_{lactona}$), 1721 ($\sqrt{c}=o_{\acute{e}ster}$), 1220 cm⁻¹ ($\sqrt{c}=o_{\acute{e}ster}$). Espectro RMN ¹H de *54* (CDCl₃) (E-47).

5.8. Testes de fotodimerização do ácido 7-metilcumarina 34.

Cerca de 750 mg do ácido 7-metilcumarina *34* recristalizados em diclorometano-hexano foram irradiados em um recipiente Pyrex, com lâmpada de mercúrio de 125W, em câmara com pequena circulação de ar e a foto-reação acompanhada por espectroscopia de infravermelho. Após 240 horas de reação, os espectros obtidos não mostraram mudanças significativas indicando que houve pouca modificação do material de partida.

6. CONCLUSÕES

Os ácidos 4-hidroxi-3-metoxi-*trans*-cinâmico, 4-hidroxi-3-etoxi-*trans*-cinâmico, 4-metoxi-*trans*-cinâmico e o ácido 3,5-dimetoxi-*trans*-cinâmico, nas mesmas condições de reação, não apresentaram fotodimerização, mesmo tendo sido submetidos a novas recristalizações.

O ácido 4-hidroxi-*trans*-cinâmico, que possui um grupo substituinte pouco volumoso, coplanar ao anel benzênico e suscetível de interação com outros grupos através de ligações de hidrogênio, mostrou reação de fotodimerização rápida, que forneceu um produto dimérico do tipo α-truxílico. Neste caso o empacotamento cristalino devia estar numa forma ordenada e favorável à foto-reação, o que não deve ter acontecido com os outros ácidos irradiados anteriormente. A redução do diéster α-truxílico correspondente não ocorreu possivelmente devido à presença dos grupos fenólicos.

Nas reações de fotodimerização com ácido *trans*-2-furilacrílico foi obtido o produto dimérico do tipo β-truxínico. As insaturações conjugadas presentes no monômero deixam a molécula totalmente planar, condições que favoreceram o empacotamento cristalino e a aproximação dos centros reativos –CH=CH- (3,84 Å), facilitando a formação do dímero. Também não foi obtido o produto de redução do diéster β-truxínico correspondente, neste caso devido a uma possível abertura do anel furânico.

As cumarinas possuem em sua estrutura insaturações conjugadas que lhe conferem planaridade e as reações de fotodimerização ocorreram com a 7-metoxicumarina e com a 3-ácido carboxílico-cumarina, formando dímeros do tipo cabeça-cauda. A 7-metilcumarina apresentou foto-reação muito lenta

devido provavelmente a um empacotamento cristalino não favorável, ocasionado pela presença do grupo metila.

A mudança da lâmpada de mercúrio de 125W, por uma mais potente de 400W, diminuiu o tempo de reação das substâncias que apresentaram resultados positivos na fotodimerização.

As substâncias obtidas, monoméricas ou diméricas, mais importantes, foram caracterizadas por espectroscopia de infravermelho, RMN 1 H e RMN 13 C.

7. BIBLIOGRAFIA

- 1. Cohen, M.D., Schmidt, G. M. J. Topochemistry. *J. Chem. Soc.* **383**, 1996, 1964.
- 2. Schmidt, G.M.J., Cohen, M.D., Sonntag, F. I.. The photochemistry of *trans*-cinnamic acids, *J. Chem. Soc.* **384**, 2000, 1964.
- 3. Desiraju, G.R., Kamala, R., Kumari, B. Hanuma, Sarna, J.A.R.P. crystal engineering via non-bonded interations involving oxygen. X-ray crystal structures of 3,4- methylenedioxycinnamic acid and 3,4-dimethoxycinnamic acid. *J. Chem. Perkin Trans II* 181,1984.
- 4. Tadatomi, N., Eiji, T., Takatoshi, M., Iizawa, T.. Convenient synthesis of β-truxinic acid via photodimerization of p-nitrophenyl cinnamate in the crystalline state. *Bull. Chem. Soc. Jpn.* **58,** 3399, 1985.
- 5. Schmidt, G.M.J.. The crystal chemistry of some *trans*-cinnamic acids, *J. Chem. Soc.*, **385**, 2014, 1964.
- 6. Kelley, J. Charles, Harruff, R. C., Carmack, M., The polyphenolic acids of *Lithospermum ruderale*. II. ¹³C NMR of lithospermic and rosmarinic acids, *J. Org. Chem.* **41**, 449, 1976.
- 7. Eliel, E.L., Pietrusiewicz, K.M., ¹³C NMR spectra of methylated cyclobutanes and ethyl cyclobutane-carboxylates. *Org. Magn. Reson.* **13,** 193, 1980.
- 8. Agrawal, P. K., Thakur, R. S., ¹³C NMR spectroscopy of lignan and neoliognan derivatives, *Mag. Res. Chem.* **23**, 389, 1985.
- 9. Kulanthaivel, P., Benn, M., H., A new truxillate and some flavonoid esters from the leaf gum of *Traversia Baccharoides* hook. F., *Can. J. Chem.* **64**, 514, 1986.

- 10. Morrison, W. H., Hartley, R. D., Himmelsbach, D. S., Synthesis of substituted truxillic acids from p-coumaric and ferulic acid, *J. Agric. Food. Chem.* **40**, 768, 1992.
- 11. a) Withing, D. A., Lignans and Neolignanas, *Nat. Prod. Rep.* 2 191, 1985.
- b) Freudenberg, K. e Weinges, K., Systematik und nomenclature der lignan, *Tetrahedron* **15**, 115, 1961.
- c) Gottlieb, O.R., Lignans and neolignanas, *Prog. Chem. Org. Nat. Prod.* **36**, 1, 1978.
- 12. Rossi, E. R. B., Síntese de substâncias ciclobutânicas via fotodimerização de ácidos *trans*-cinâmicos no estado sólido e estudo de RMN ¹³C, Campinas, dissertação de mestrado, Instituto de Química, UNICAMP, 1992.
- 13. IUB-IUPAC Joint Commission on Biochemical Nomenclature (JCBN), 2000.
- 14. Yu-Ming, C., Montoyuki, N., Toyokichi, Y., Xi-Ying, Z., Wen-Mei, Y., Fumio, H., Junei, K., Tosshihiro, N. and Shinobu, S. Anti-inflammatory activities of α-truxillic acid derivates and their monomer components. *Biol. Pharm. Bull.* 1776, 2005.
- 15. Masaya, I., Masaki, T., Aoyagi, S. and Chihiro, K. Total synthesis of (-)-incarvilline, (+)-incarvine C, and (-)-incarvillateine. *J. Am. Chem. Soc.* **126**, 16553, 2004.
- 16. Bolleddula, J., Mulabagal, V., Ianjun, Z., David, L.Dewitt., Muraleedharan, G.Nair. Impact of alkil esters of caffeic and ferulic acids on tumor cell proliferation, cyclooxygenase enzyme, and lipid peroxidation. *J. Agric. Food Chem.* **54**, 5375, 2006.

- 17. Chang, C. J., Chiu, J.H., Tseng, L. M., Chang, C.H., Chien, T. M., Wu, C.W., Lui, W.Y.. Modulation of HER2 expression by ferulic acid on human breast cancer MCF7 cells. *Eur. J. Clin. Invest.* 588, 2006.
- 18. Cohen, M. D., Solid-state photochemical reaction, *Tetrahedron* **43**, 1211, 1987.
- 19. Pattabirarman, M., Kaanumalle, L. S., Natarajan A., Ramamurthy V., Regioselective photodimerization of cinnamic acids in water: templation of cucurbiturils, *Langmuir* **22**, 7605, 2006.
- 20. Eliel, E. L., Allinger, N. L., Topics in stereochemistry, *J. Am. Chem. Soc.* **8**, 273, 1974.
- 21. Adman, E., Margulis, T. N., Planar and puckered cyclobutanes. Structure of a sodium salt of *trans*-1,3-cyclobutanedicarboxlylic acid, *J. Am. Chem. Soc.* **90**, 4517, 1968.
- 22. Allinger, N. L., Tushaus, L. A., Conformational analysis: stereochemical studies in cyclobutane ring system, *J. Am. Chem. Soc.* **30**, 1945, 1965.
- 23. Solomons, G. & Fryhle, *Química Orgânica*, LTC, Rio de Janeiro, 8^a ed., vol.2, 2006.
- 24. Carey, F. A. and Sundberg, R. J., *Advanced Organic Chemistry*, Plenum Academic/ Plenum Publishers, 4^a ed., Part.A, 2000.
- 25. Sóhar, P., *Nuclear Magnetic Ressonance Spectroscopy*, CRC Press, Boca Raton, Vol. **2**, 19-20, 1983-1984.
- 26. Carey, F. A. and Sundberg, R. J., *Advanced Organic Chemistry*, Plenum Academic/ Plenum Publishers, New York, 4^a ed., Part.B, 2000.
- 27. Allinger, N. L., Cava, M. P., Jongh, D. C., Johnson, C. R., Lebel, N.

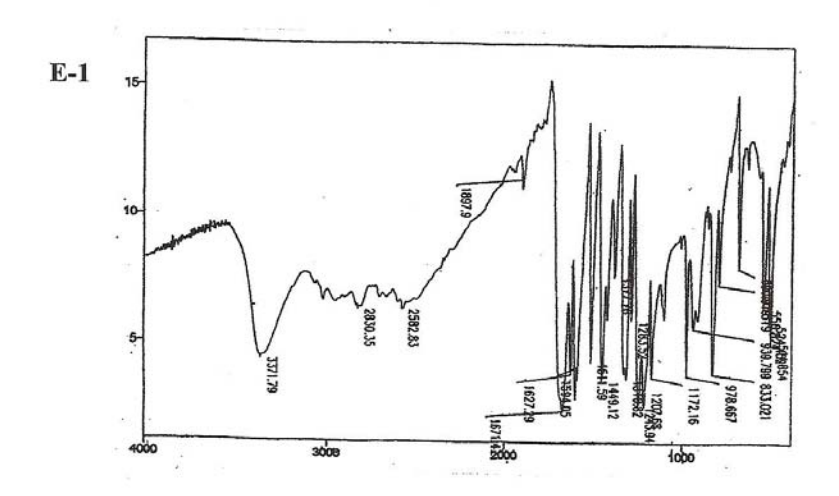
- A., Stevens, C. L., Química Orgânica, 2ªed., Guanabara Dois, Rio de Janeiro, 1978.
- 28. Appel, W. K., Jiang, Z. Q., Schefer J. R., Walsh, J., *J. Am. Chem. Soc.* **105**, 5354, 1983.
- 29. Dembitsky, V.M., Bromo- and iodo-containing alkaloids from marine microorganisms and sponges, *Russ. J. Bioorg. Chem.* **28**, 196, 2002.
- 30. Dembitsky, V.M., Bioactive cyclobutane-containing alkaloids, *J. Nat. Med.* **62**, 1, 2008.
- 31. Avotin'sh, F.M., Amino acids of cyclobutane series, *Usp Khim (Russia)* **62**, 949, 1993.
- 32. Morrison, H., Curtis, H., McDowell, T., Solvent effects on photodimerization of coumarin, *J. Am. Chem. Soc.* **88**, 5415, 1966.
- 33. Gnanaguru, K., Ramasubbu, N., Venkatesan, K. and Ramamurthy,
- V.. A study the photochemical dimerization of coumarins in the solid state, *J. Org. Chem.* 2337, 1985.
- 34. Smith, M. B., *Organic Synthesis*, Mc Graw Hill, New York, 2^a ed., 750, 1994.
- 35. Furniss, B.S., Hannaford, A. J., Smith, P. W. G., Tatchell, A.R.. *Vogel's Textbook of Practical Organic Chemistry*, Pearson, London, 5^a ed, 1038, 1989.
- 36. Lowry, T.H., Richardson, K. S., *Mechanism and Theory in Organic Chemistry*, Harper and Row, New York, 3^a ed., 1018, 1987.
- 37. Harris, J. M. and Wanser, C. C., Fundaments of Organic Reaction Mechanisms, J.Wiley, New York, 3^a ed., 323-329,1976
- 38. Nozaki H., Otani, I., Noyori, R. and Kawanisis, M.. Photochemical

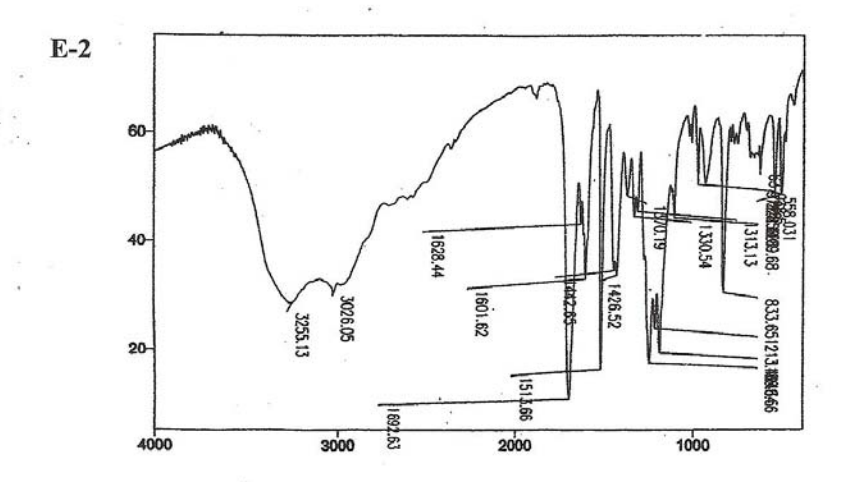
- reactions of trans-anethole, Tetrahedron 24, 2183-2192, 1968.
- 39. Silverstein, R. M., Webster, F. X., *Identificação espectrométrica de compostos orgânicos*, LTC, 6^a ed., Rio de Janeiro, 2000.
- 40. Pavia, D. L., Lampman, G. M., Kriz, G. S., *Introduction to spectroscopy*, Books/Colei, 3^a ed., South Melbourne, 2001.
- 41. Carneiro, P. I. B., Efeitos empíricos dos substituintes RMN ¹³C correlações com parâmetros eletrônicos e estéricos dos substituintes, Campinas, tese de doutoramento, Instituto de Química, UNICAMP, 1991.
- 42. Aldrich Catalog, 2005-2006
- 43. Bunckingham, J., *Dictionary Organic Compounds*, New York, 5^a ed., Chapman and Hall, 1712, 1984.
- 44. Chi, Yu-Ming; *Biol. Pharm. Bull.* **29**, 580, 2006.
- 45. Speranza G., Studies On Aloe. Part 5: Iso-aloe y sinaia minor constituent of cape aloe, *J. Nat. Products* 588, 1988.
- 46. Weast, R. C., Astle, M. J., *Handbook of Data on Organic Compounds*, Volume A-O, Flórida, CRC Press, 4^a ed., 1987.
- 47. Lahav, M., Schmidt, G. M. J., Solid state photochemistry of some *trans*-cinnamic acid, *J. Chem. Soc. B* 239, 1967.
- 48. S. E. Filippakis, G. M. J. Schmidt, The crystal structure of *trans*-β-2-furylacrylic acid, *J. Chem. Soc. B* 229, 1967.
- 49. Mambo, V., Carles, M., Aycard, J. P., Boron trifluoride catalysis of photodimerization of coumarins and psoralens and their cross cycloaddition to tetramethylethylene. *J. Soc. Ouest-Afric. Chim.* 10, 63, 2005.
- 50. Kawata, H., Ichikawa, S., Kumagai, T. and Niizuma, S., *Tetrahedron Lett.* **43**, 5161, 2002.

Espectros de infravermelho, de RMN ¹H, de RMN ¹³C, DEPT 90 e 135

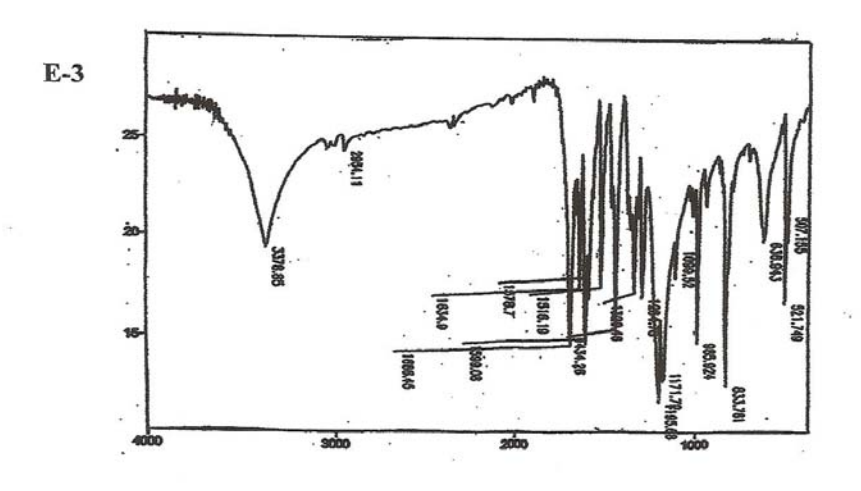
e

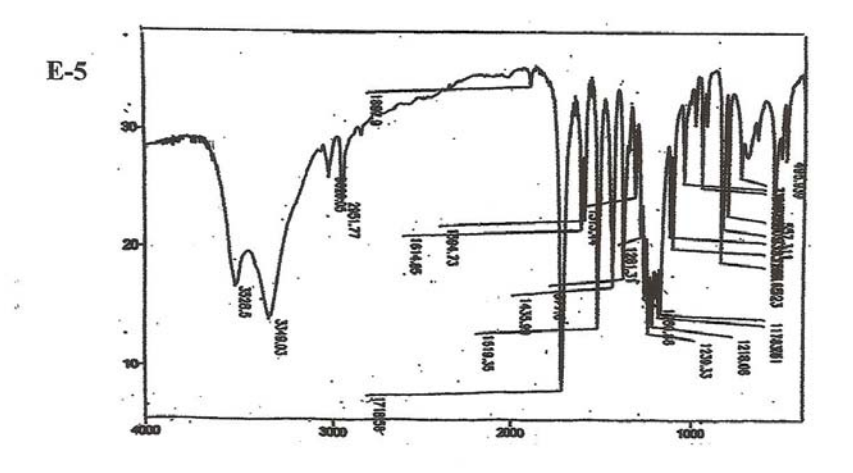
Mapas de Contorno HSQC



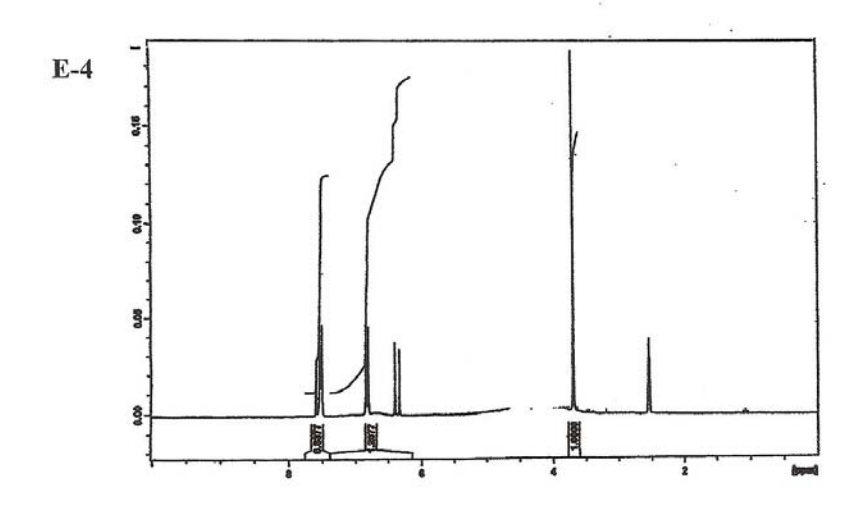


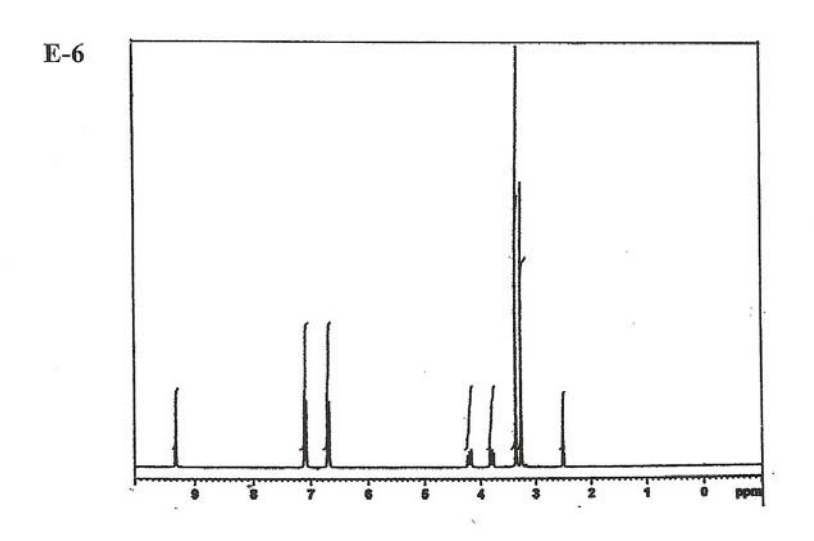
E-1. Espectro de infravermelho do ácido 4-hidroxi-*trans*-cinâmico 27. E-2. Espectro de infravermelho do diácido 4,4'-diidroxi-α-truxílico 38.



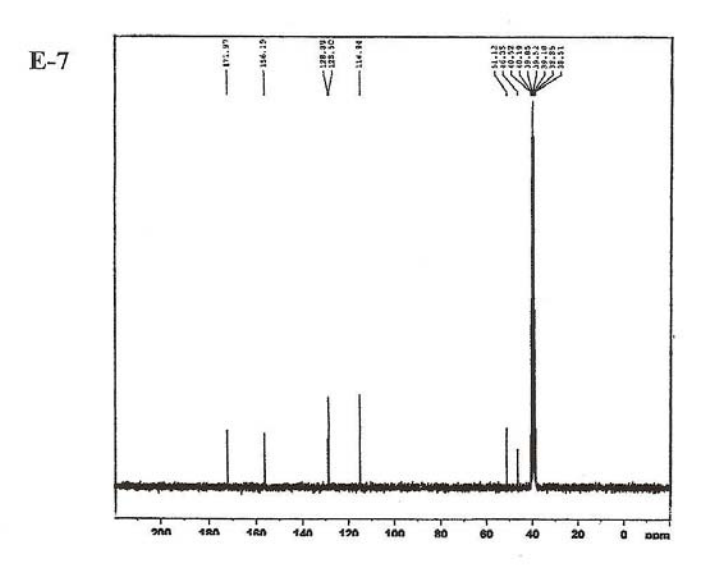


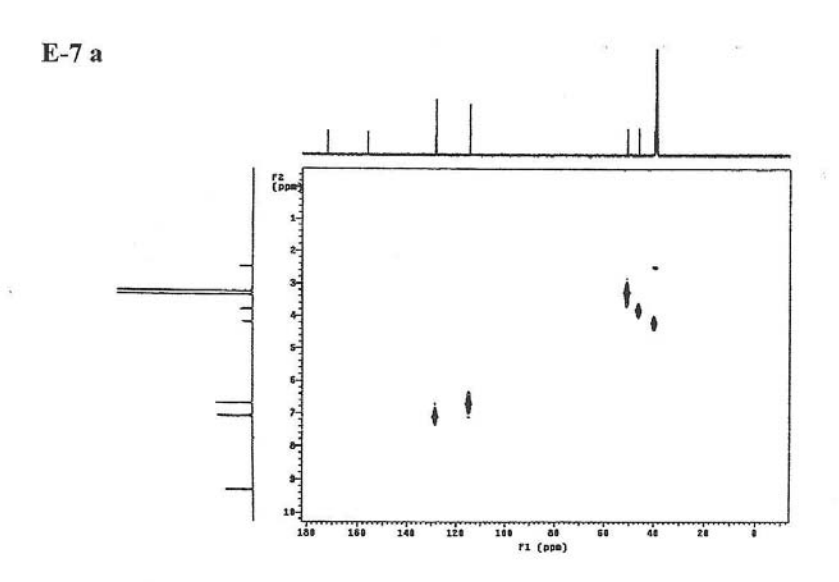
E-3. Espectro de infravermelho do 4-hidroxi-*trans*-cinamato de metila *37*. E-5. Espectro de infravermelho do 4,4'-diidroxi-α-truxilato de metila *39*.



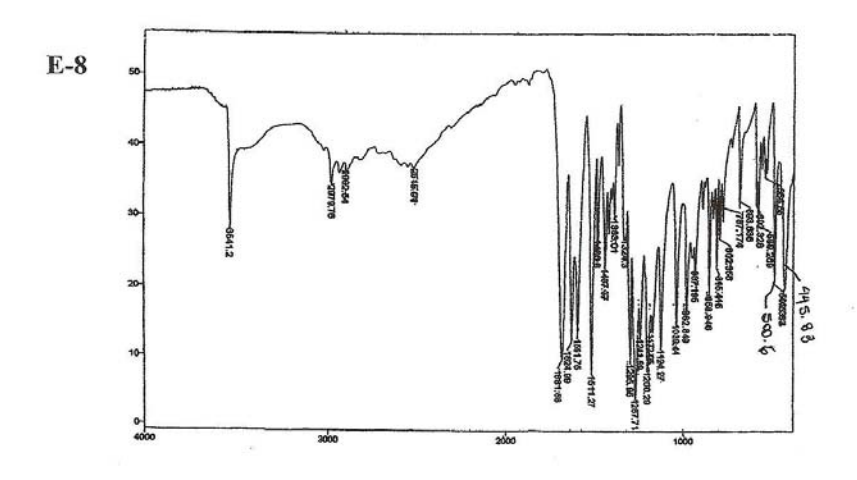


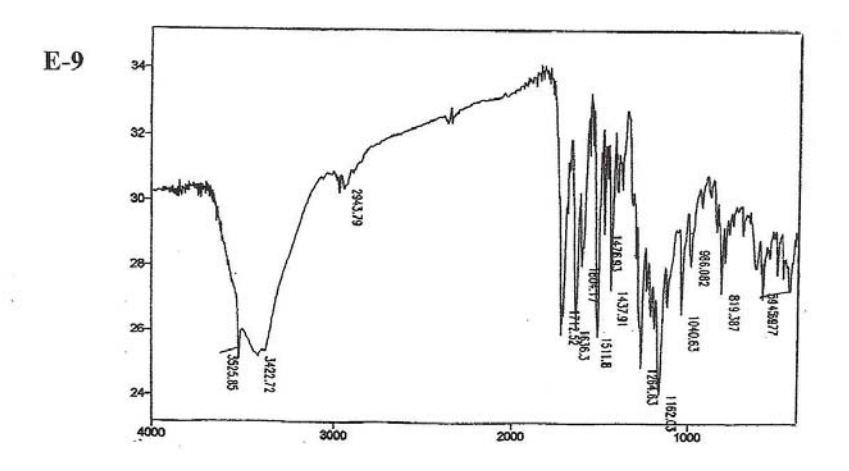
E-4. RMN ¹H do 4-hidroxi-*trans*-cinamato de metila *37*. E-6. RMN ¹H do 4,4-diidroxi-α-truxilato de metila *39*.



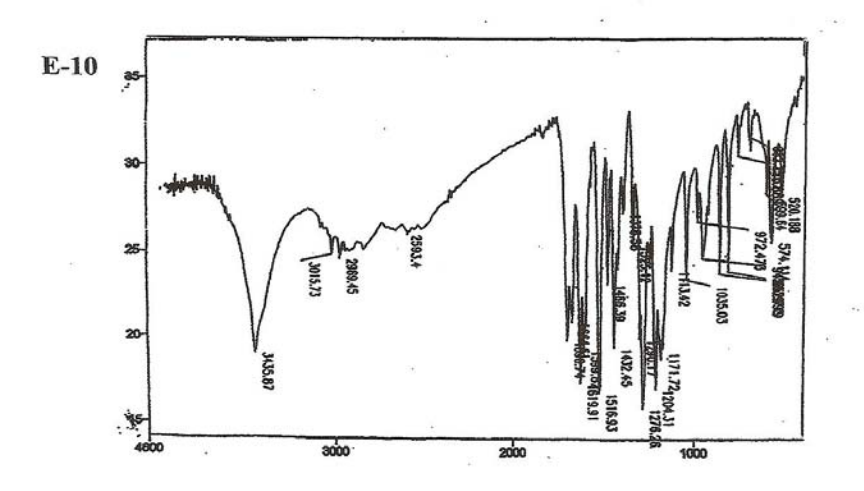


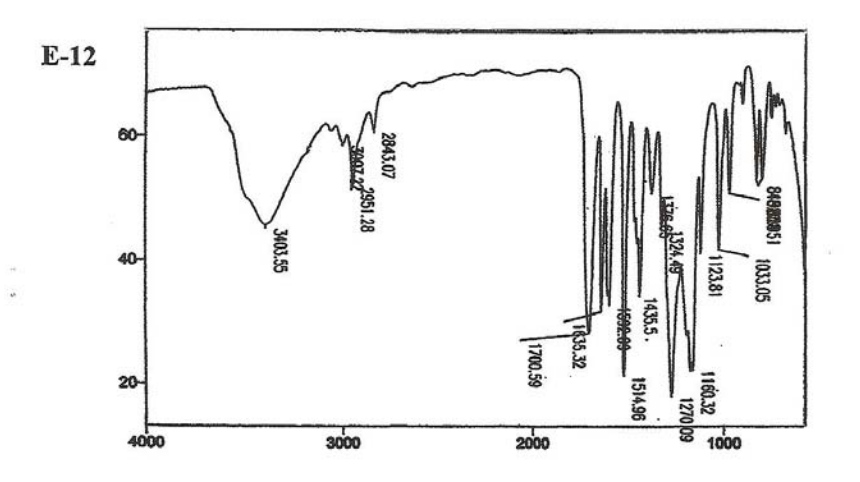
E-7. RMN ¹³C do 4,4'-diidroxi-α-truxilato de metila 39.
 E-7 a. Mapas de contorno do 4,4-diidroxi-α-truxilato de metila 39.



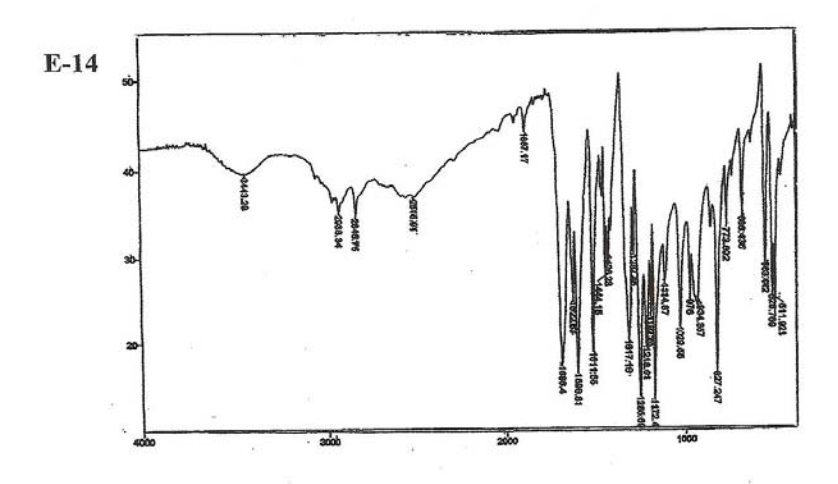


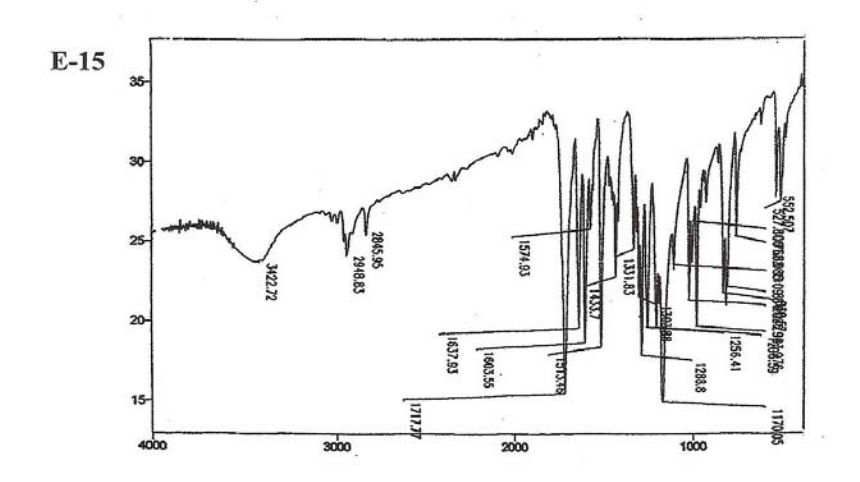
E-8. Espectro de infravermelho do ácido ferúlico 28. E-9. Espectro de infravermelho do 4-hidroxi-3-metoxi-*trans*-cinamato de metila 42.



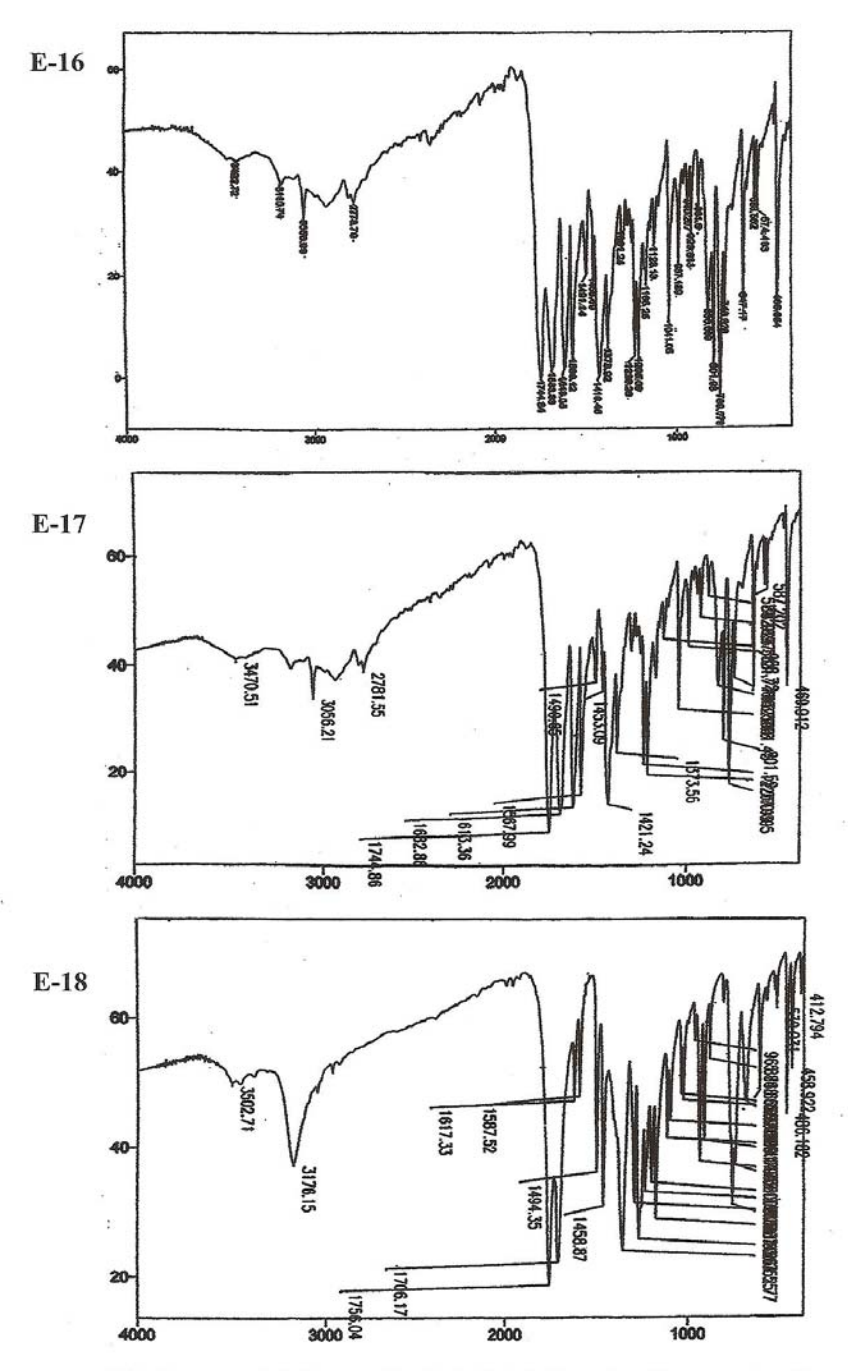


E-10. Espectro de infravermelho do ácido 4-hidroxi-3-etoxi-*trans*-cinâmico *29*. E-12. Espectro de infravermelho do *4*-hidroxi-3-etoxi-*trans*-cinamato de metila *43*.

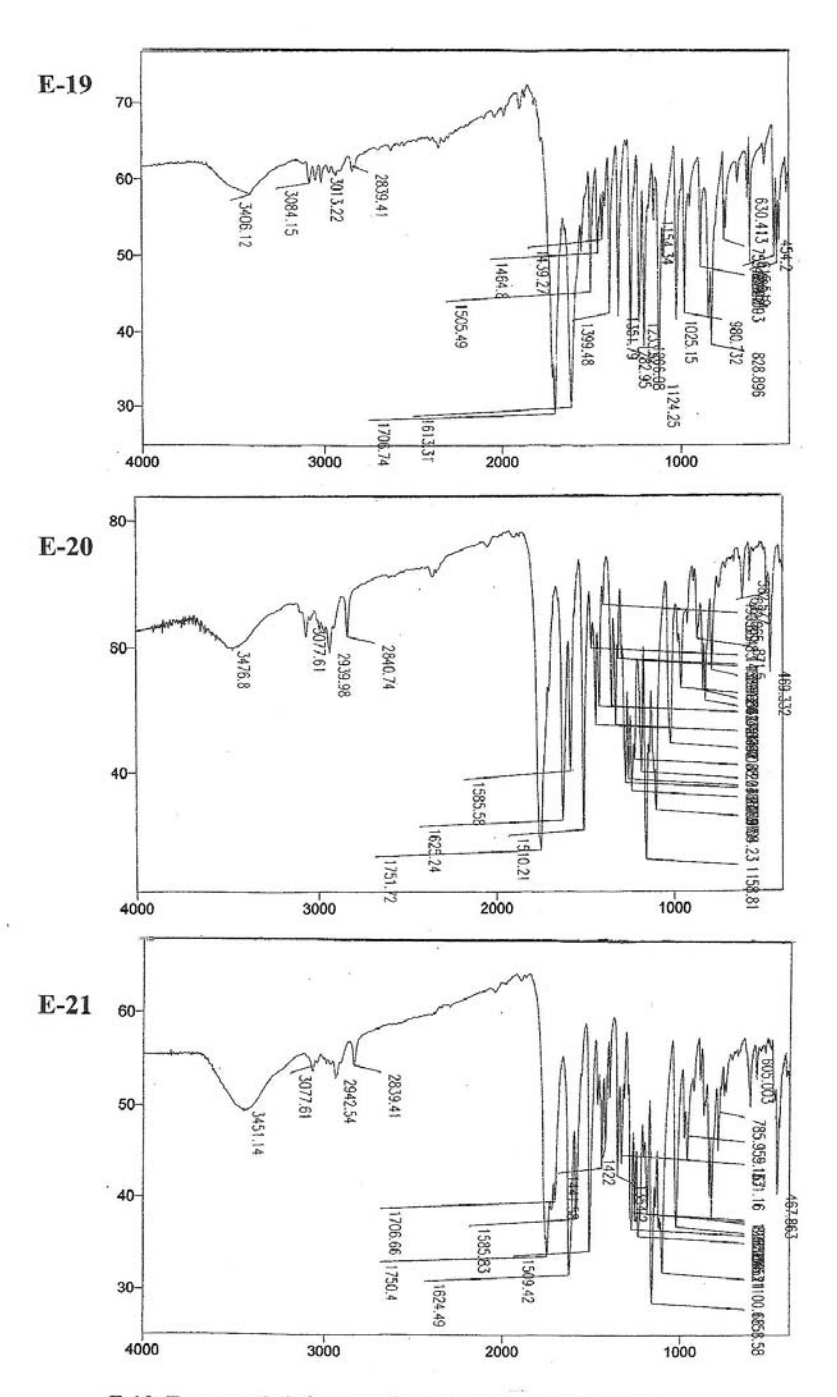




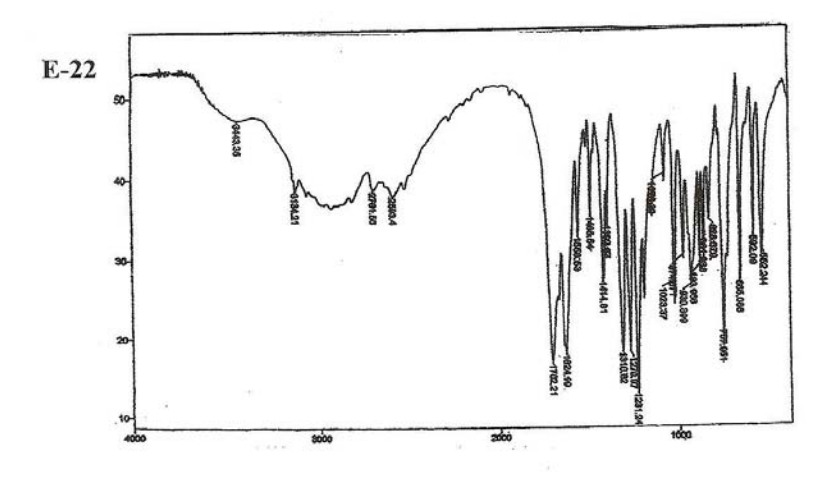
E-14. Espectro de infravermelho do ácido 4-metoxi-*trans*-cinâmico 30. E-15. Espectro de infravermelho do 4-metoxi-*trans*-cinamato de metila 48.

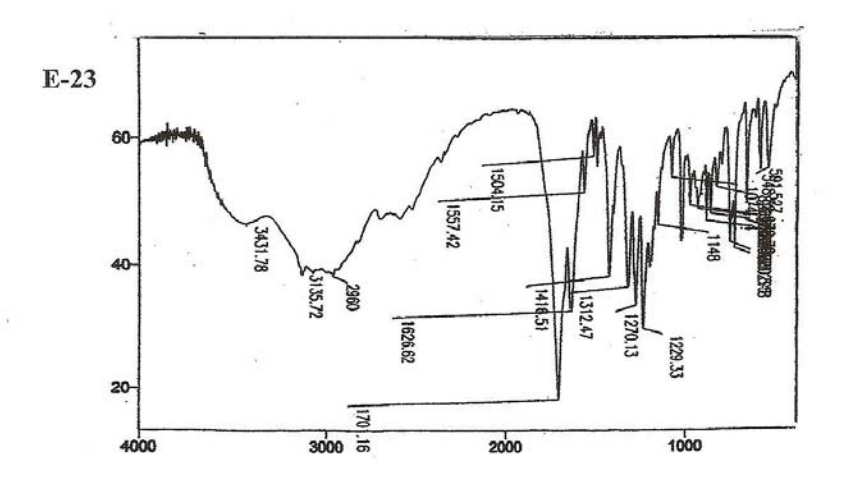


E-16. Espectro de infravermelho do ácido 3-ácido carboxílico cumarina 35. E-17. Espectro de infravermelho da evolução da reação. E-18. Espectro de infravermelho ao final da reação.

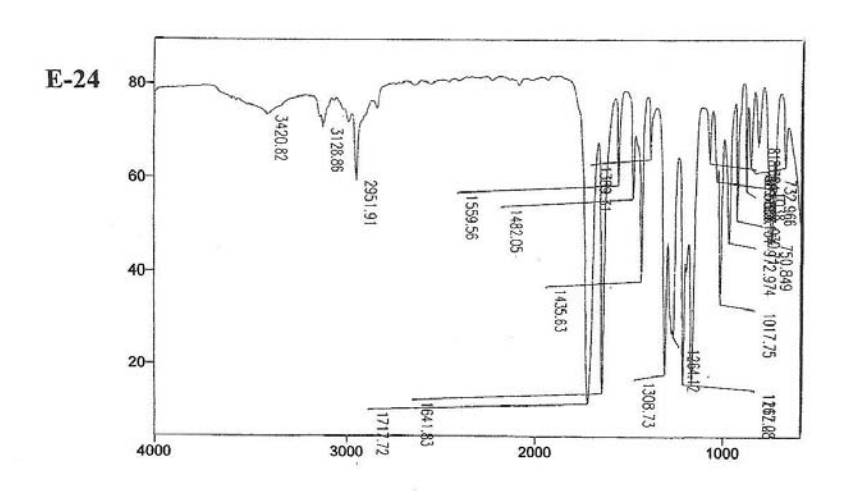


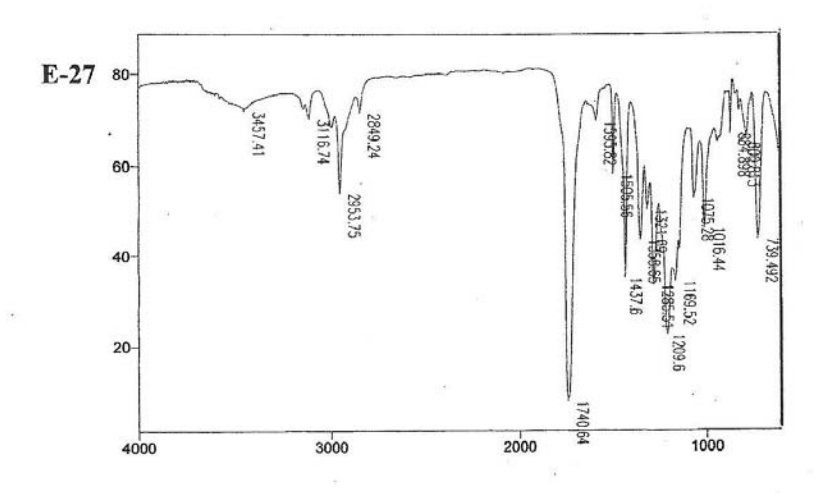
E-19. Espectro de infravermelho da 7-metoxicumarina 36. E-20. Espectro de infravermelho da evolução da reação. E-21. Espectro de infravermelho ao final da reação.



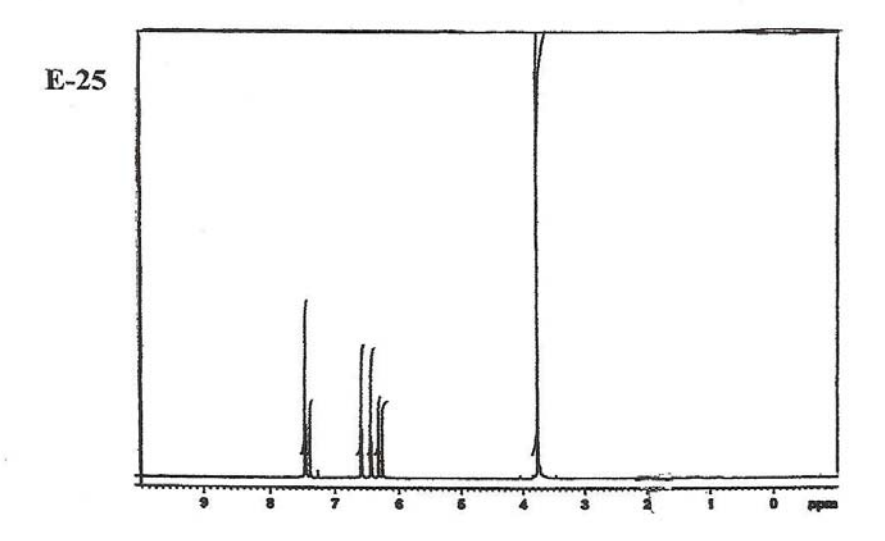


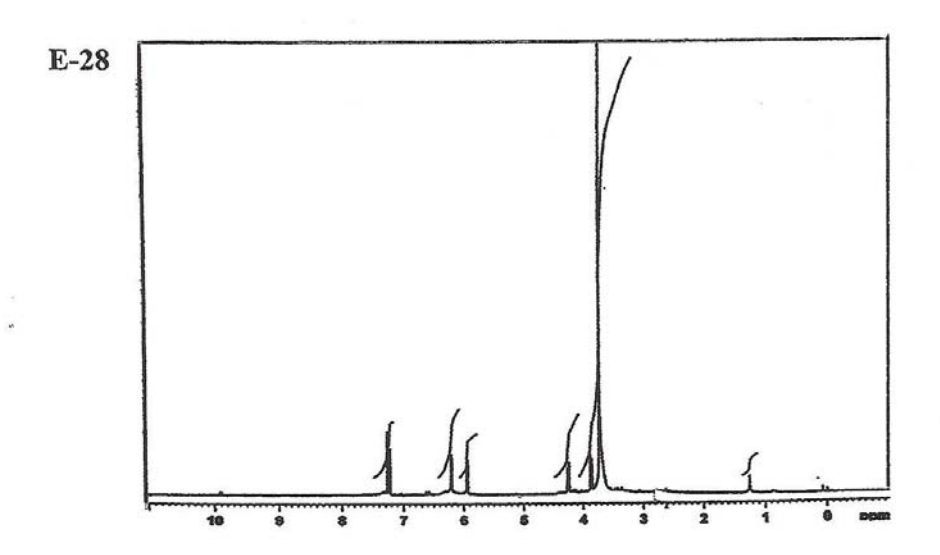
E-22. Espectro de infravermelho do ácido trans-2-furilacrílico 33. E-23. Espectro de infravermelho do ácido tipo β -truxínico 51.



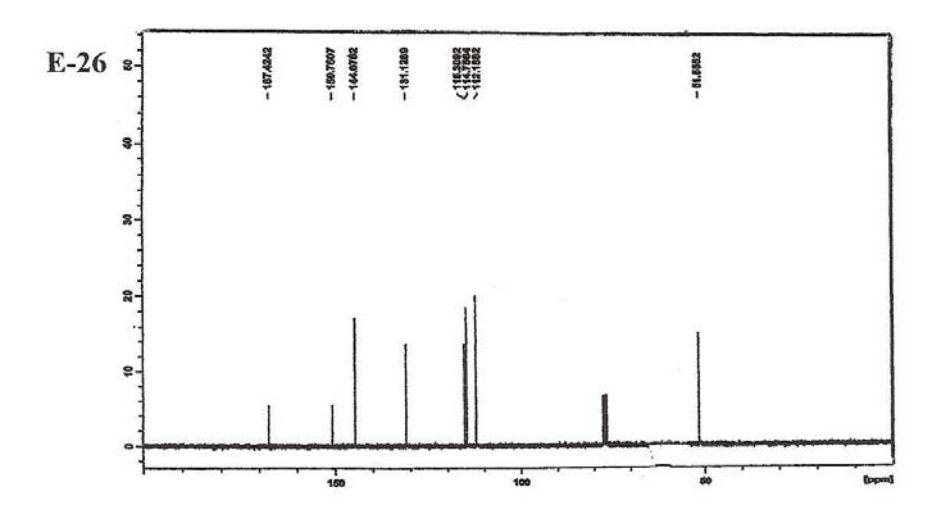


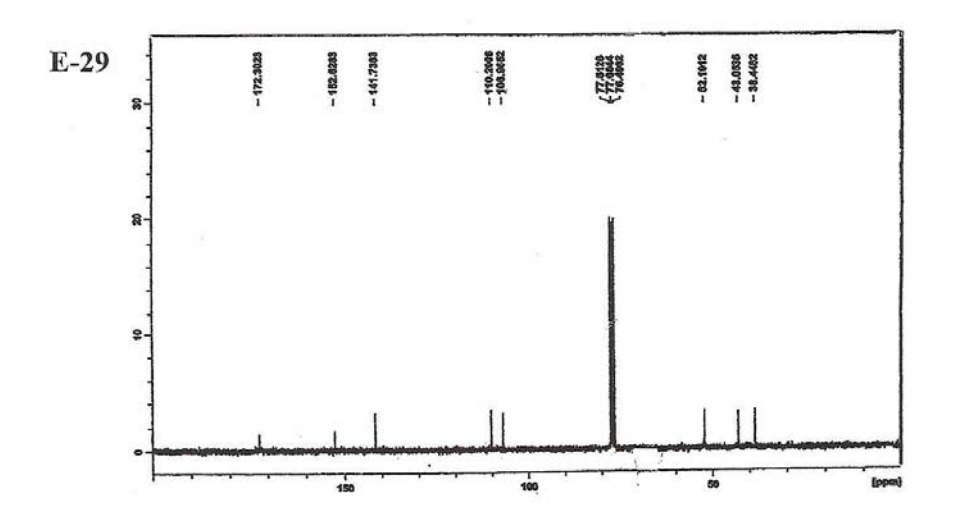
E-24. Espectro de infravermelho do *trans*-2-furilacrilato de metila 50. E-27. Espectro de infravermelho do β -truxinato 52.



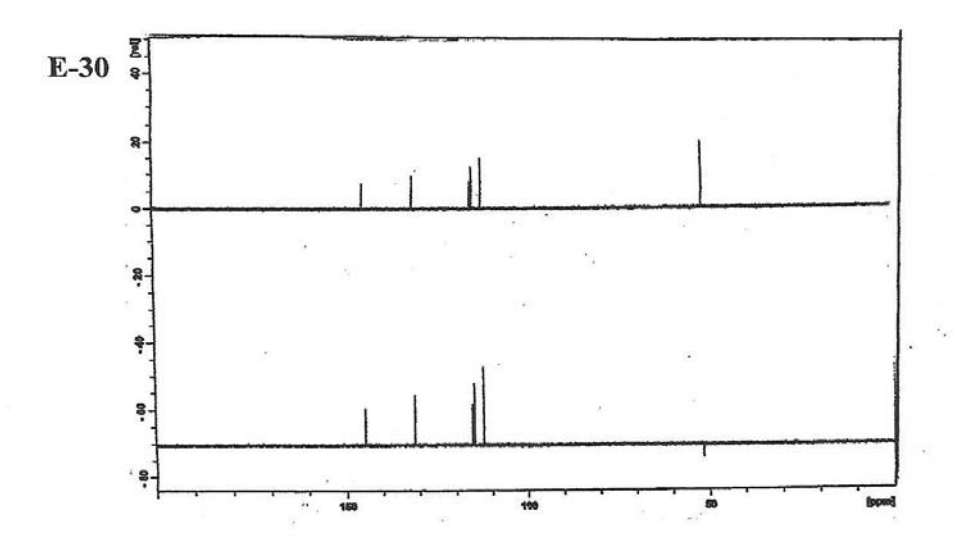


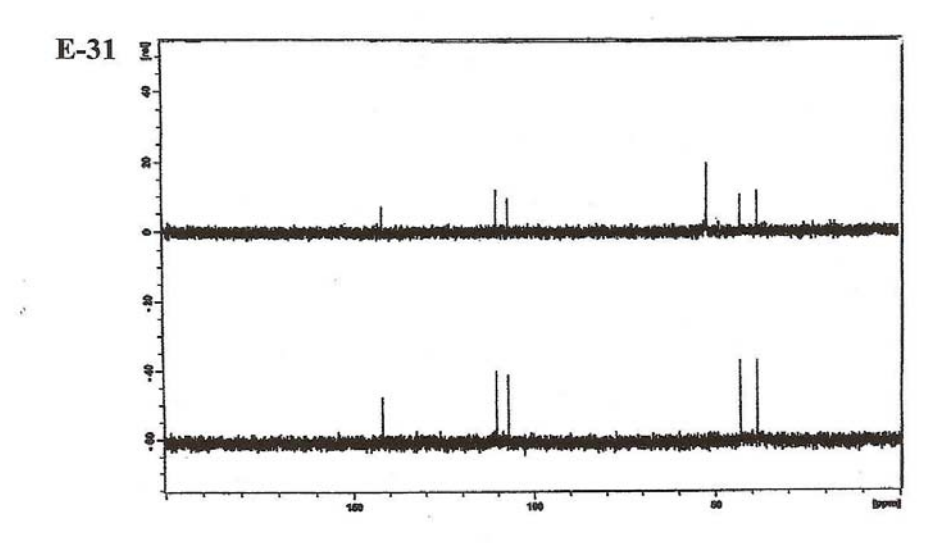
E-25. RMN 1 H do *trans*-2-furilacrilato de metila 50. E-28. RMN 1 H do β-truxinato 52.



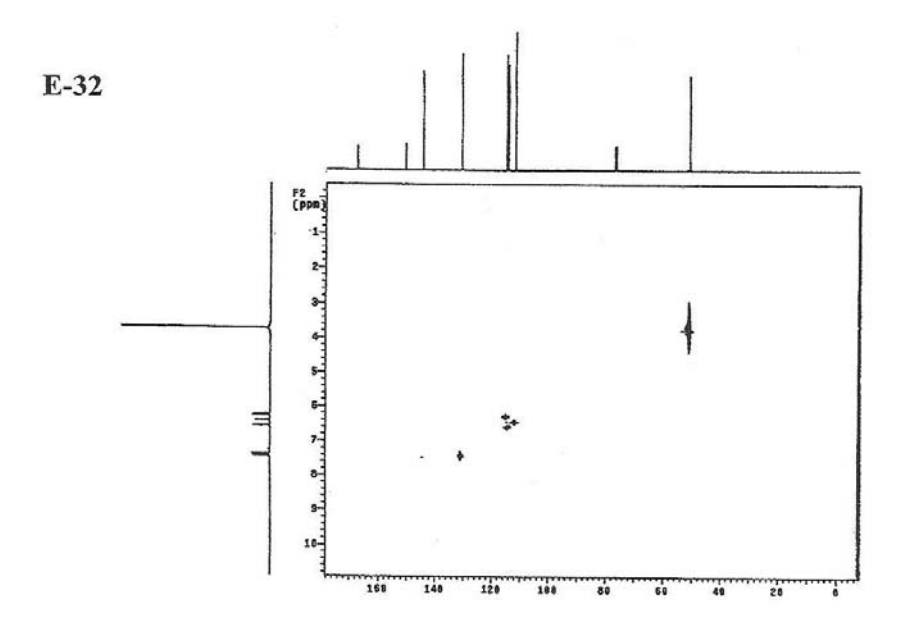


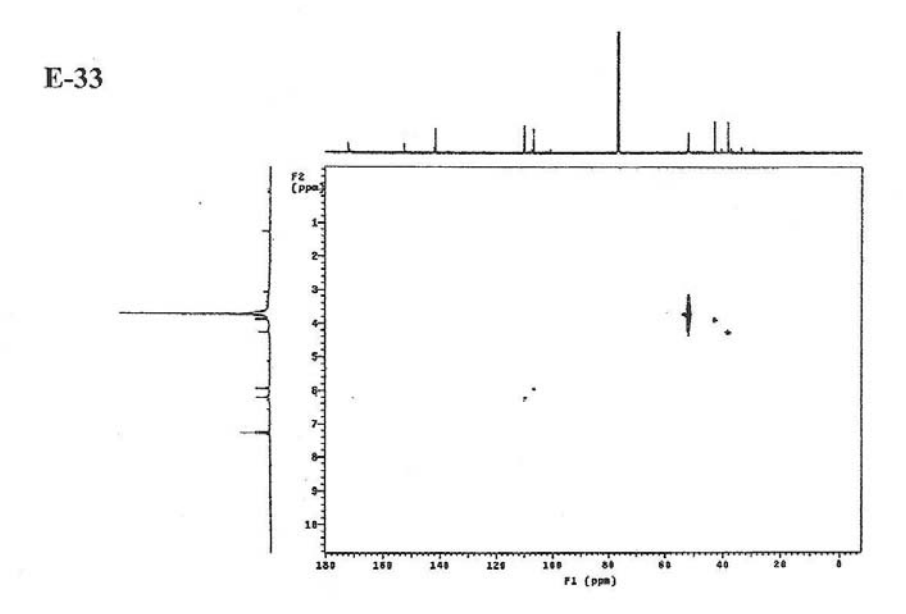
E-26. RMN $^{13}\mathrm{C}$ do *trans*-2-furilacrilato de metila 50. E-29. RMN $^{13}\mathrm{C}$ do $\beta\text{-truxinato}$ 52.



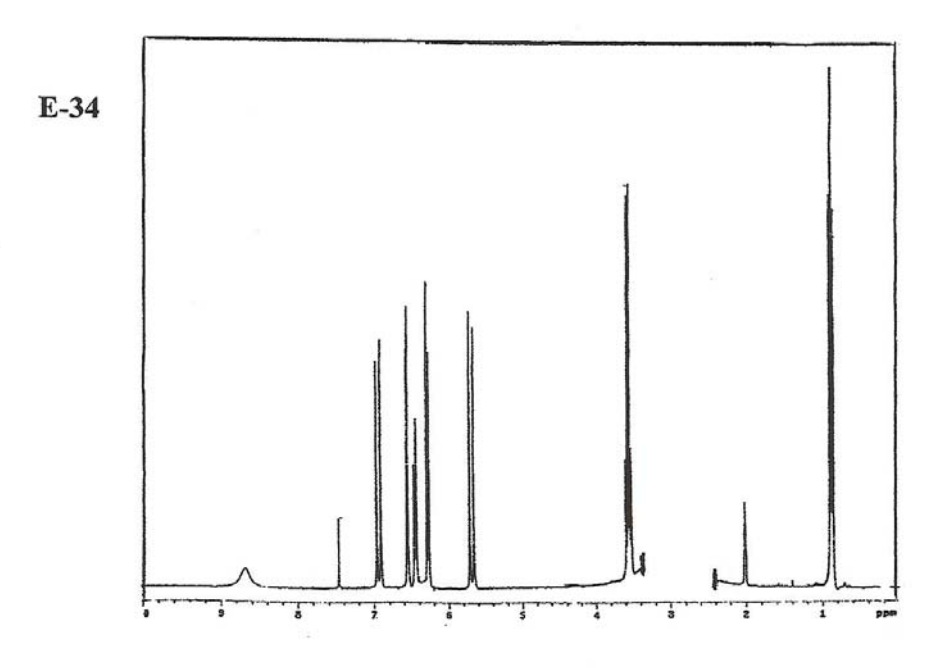


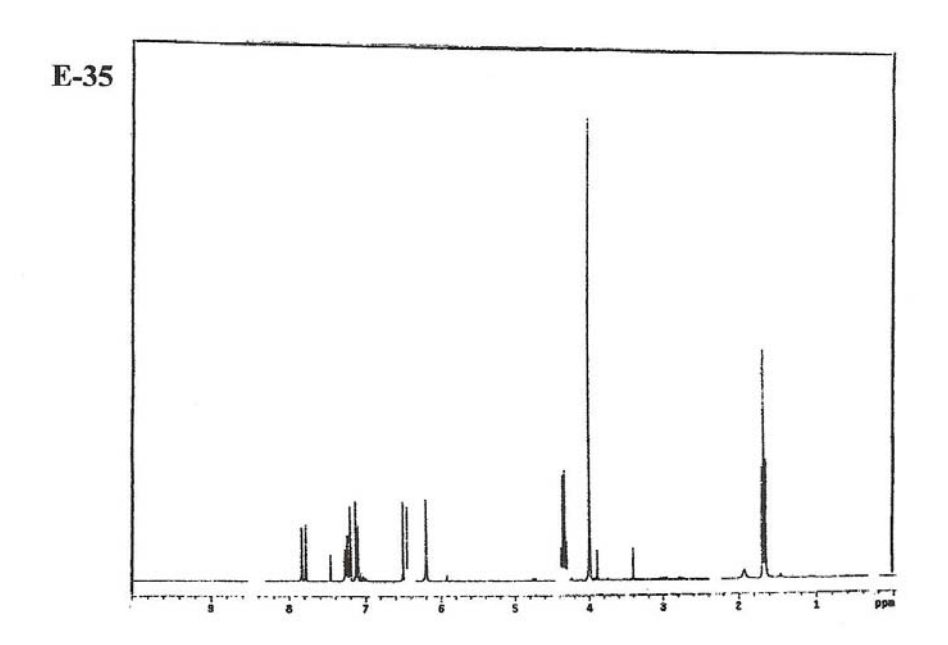
E-30. DEPT 90 e 135 do *trans*-2-furilacrilato de metila *50*. E-31. DEPT 90 e 135 do β -truxinato *52*.



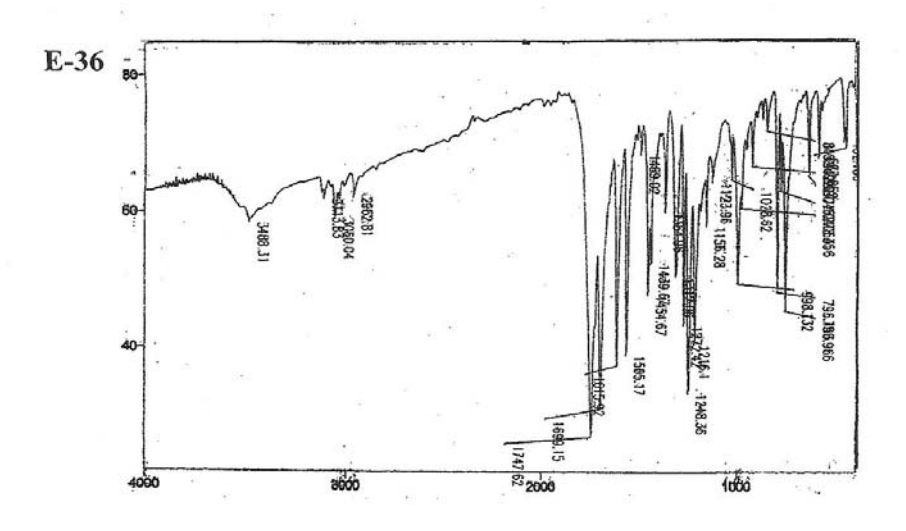


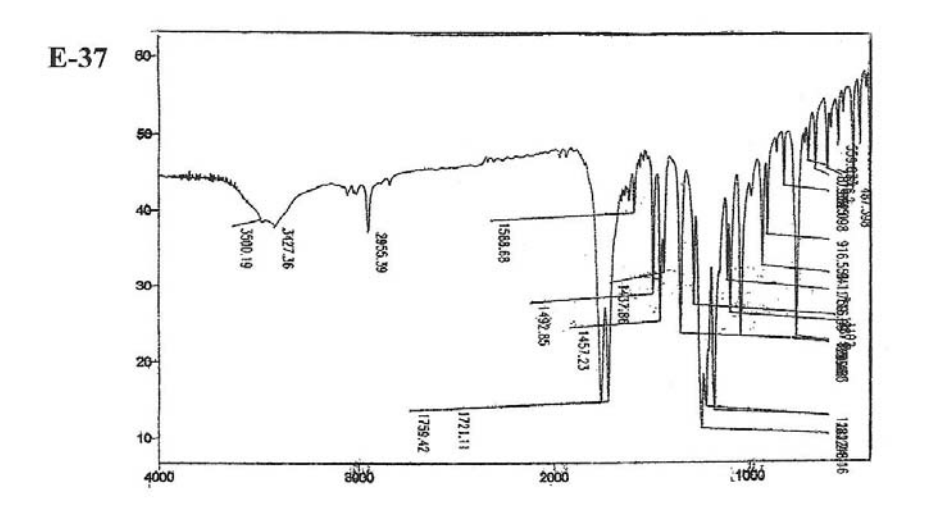
E-32. Mapas de contorno do *trans*-2-furilacrilato de metila *50*. E-33. Mapas de contorno do β -truxinato *52*.



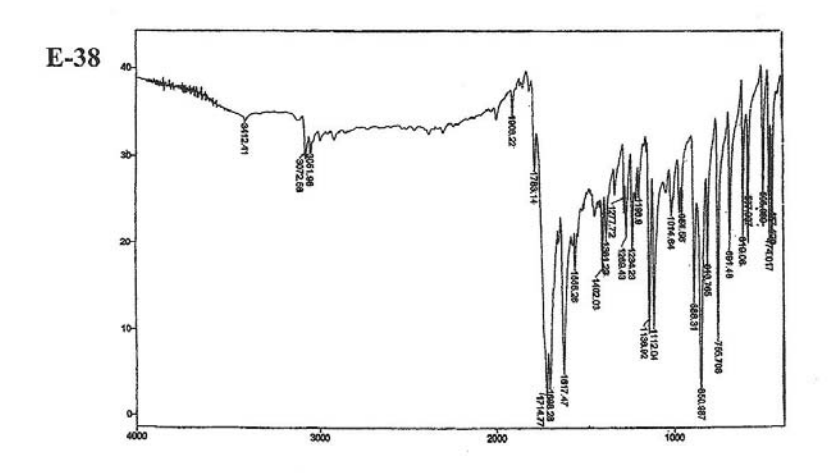


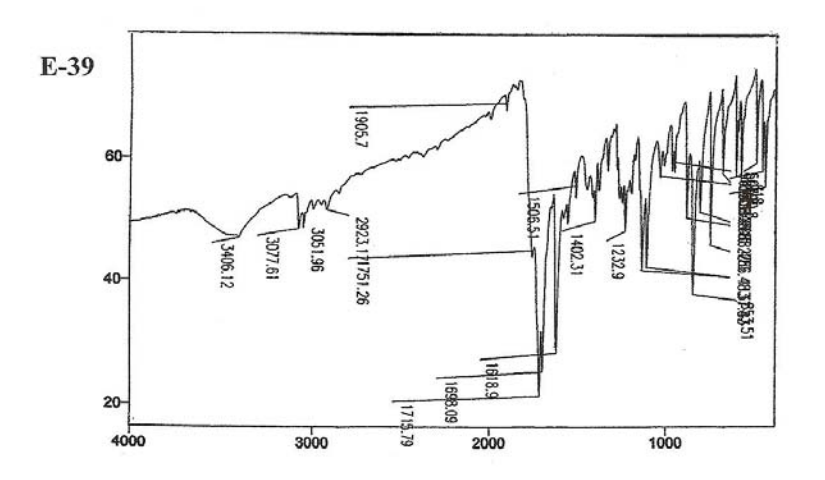
E-34. RMN ¹H do ácido 4-hidroxi-3-etoxi-*trans*-cinâmico *29*. E-35. RMN ¹H do 4-hidroxi-3-etoxi-*trans*-cinamato de metila *43*.



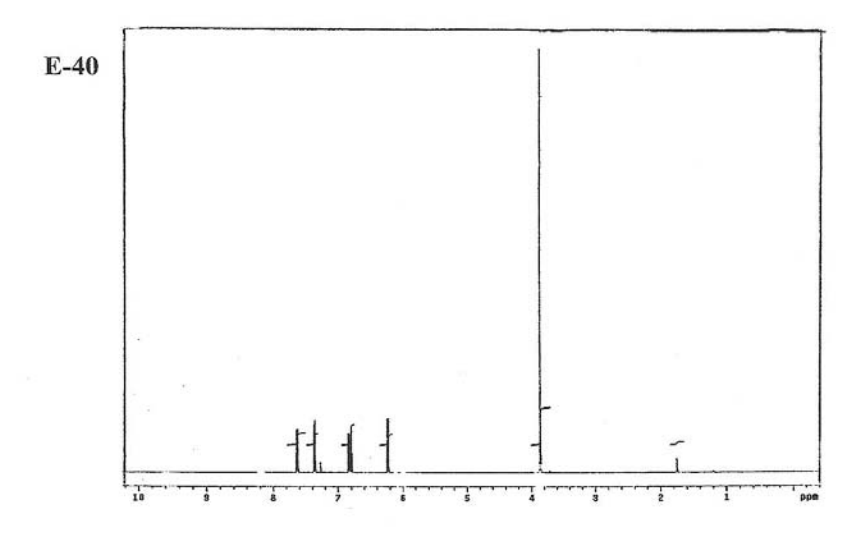


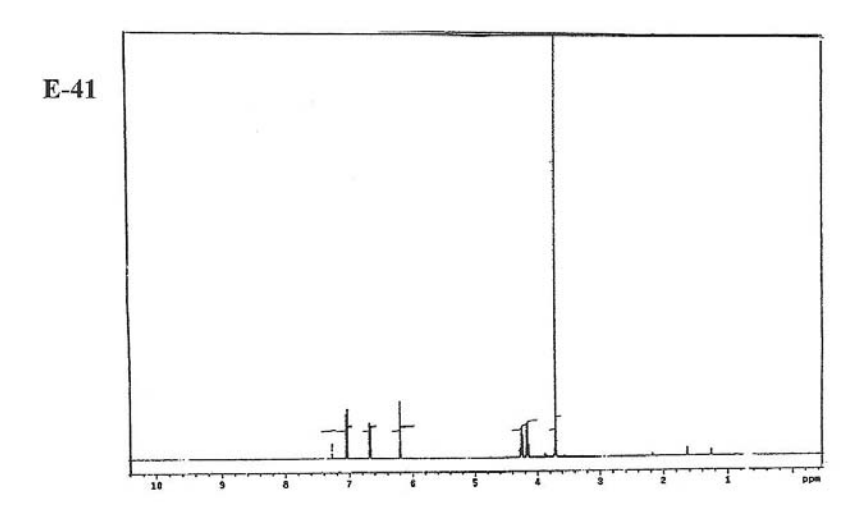
E-36. Espectro de infravermelho do éster metílico 3-ácido carboxílico-cumarina 55. E-37. Espectro de infravermelho do diéster metílico 3-ácido carboxílico-cumarina 54.



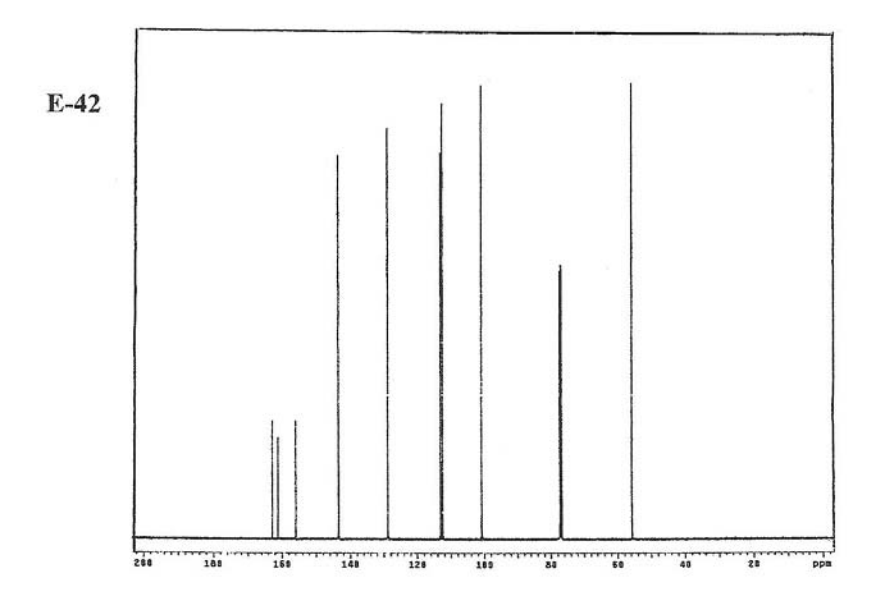


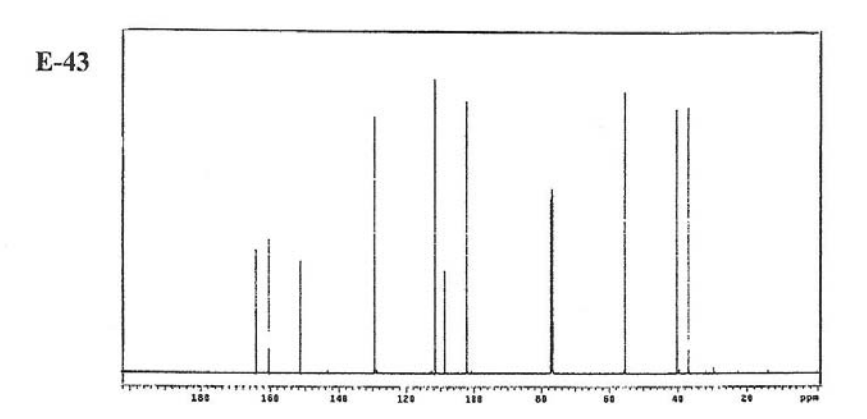
E-38. Espectro de infravermelho da 7-metilcumarina *34*. E-39. Espectro de infravermelho da evolução da reação.



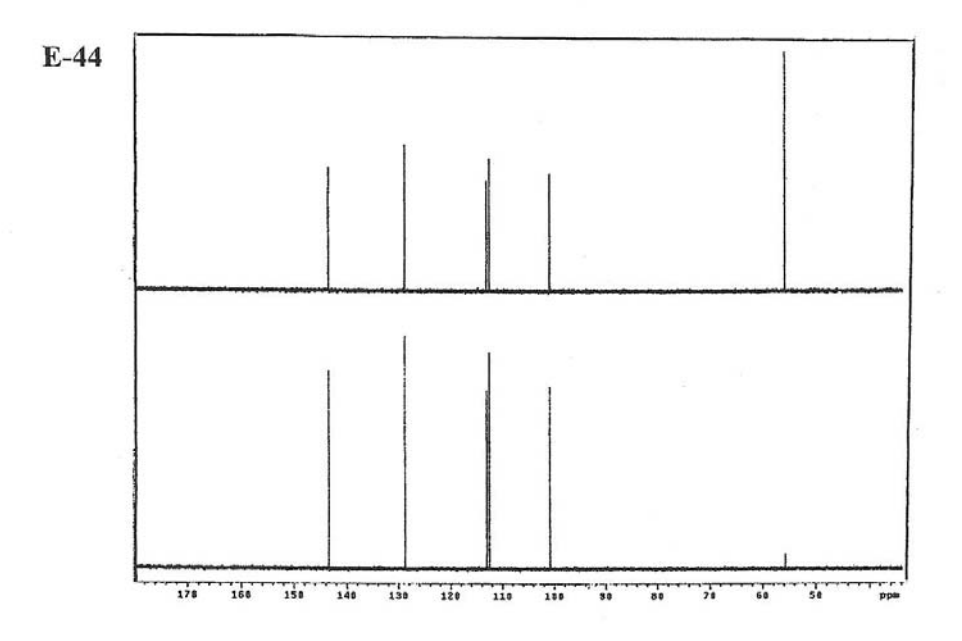


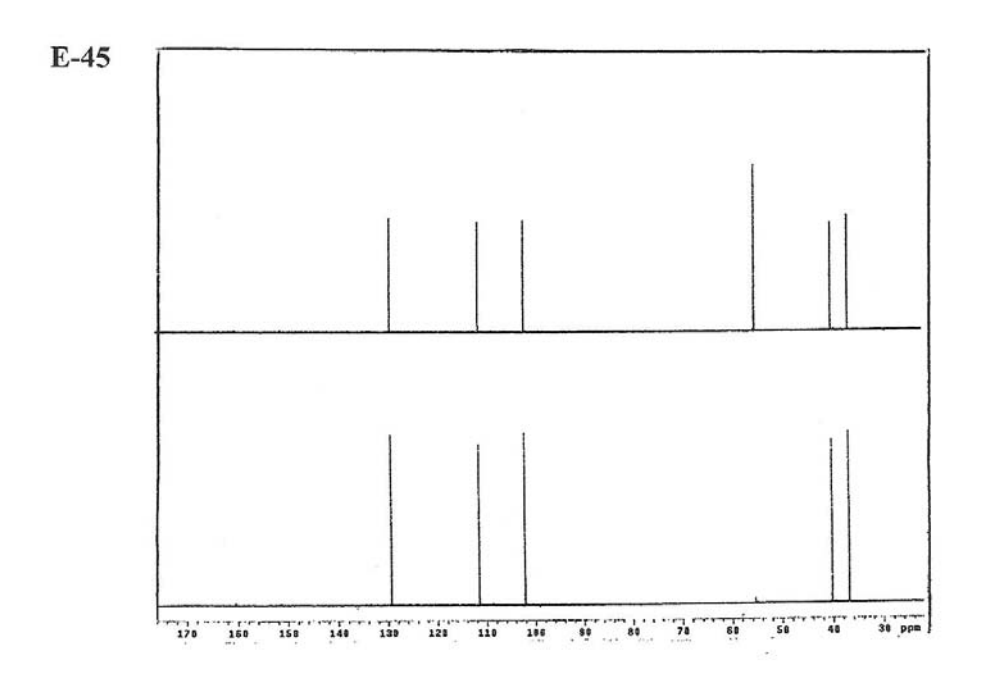
E-40. RMN ¹H da 7-metoxicumarina *36*. E-41. RMN ¹H da 7-metoxicumarina dimérica *49*.



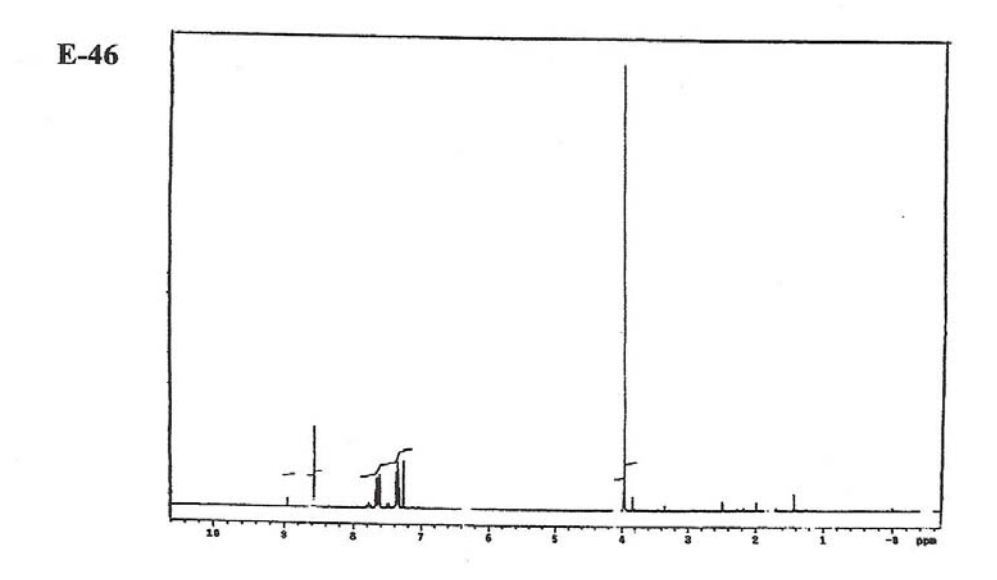


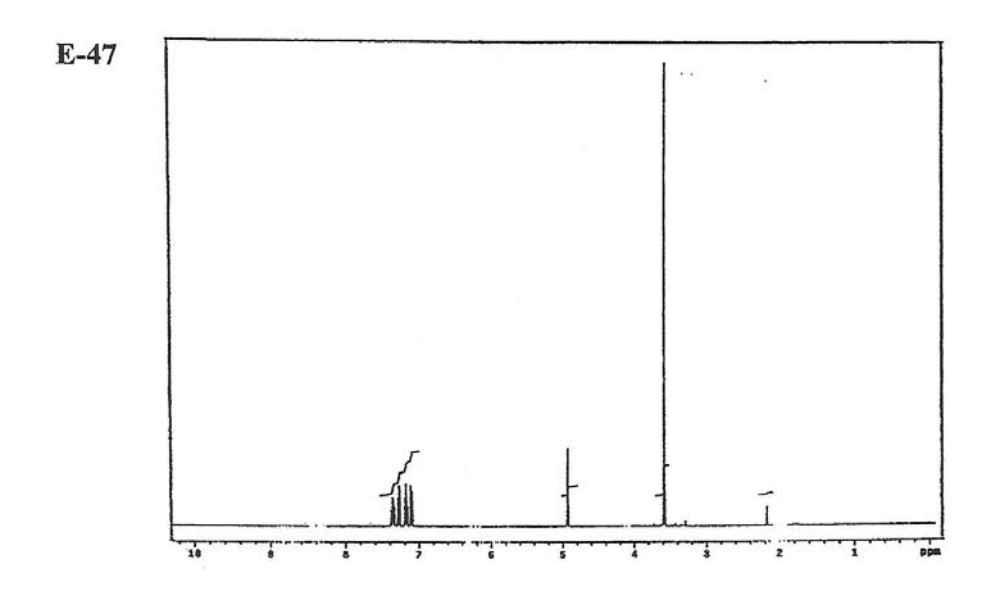
E-42. RMN 13 C da 7-metoxicumarina 36. E-43. RMN 13 C da 7-metoxicumarina dimérica 49.



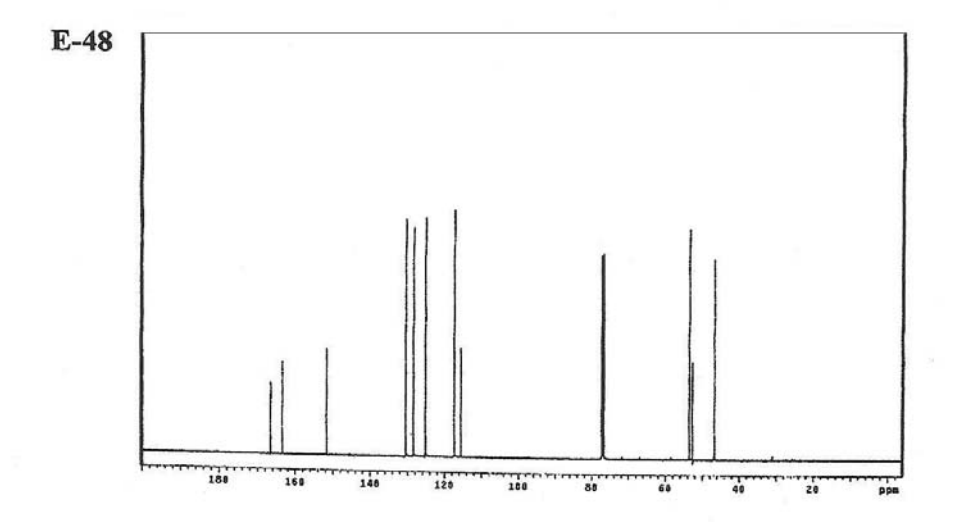


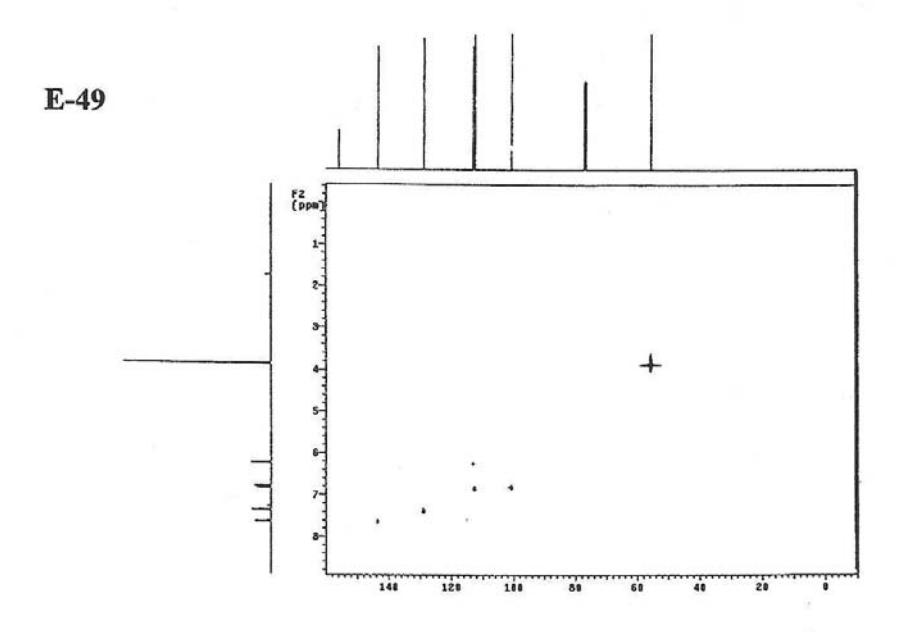
E-44. DEPT 90 e 135 da 7-metoxicumarina 36. E-45. DEPT 90 e 135 da 7-metoxicumarina dimérica 49.





E-46. RMN ¹H do éster metílico 3-ácido carboxílico-cumarina *55*. E-47. RMN ¹H do diéster metílico 3-ácido carboxílico-cumarina *54*.





E-48. RMN 13 C do diéster metílico 3-ácido carboxílico-cumarina 54. E-49. Mapas de contorno da 7-metoxicumarina 36.